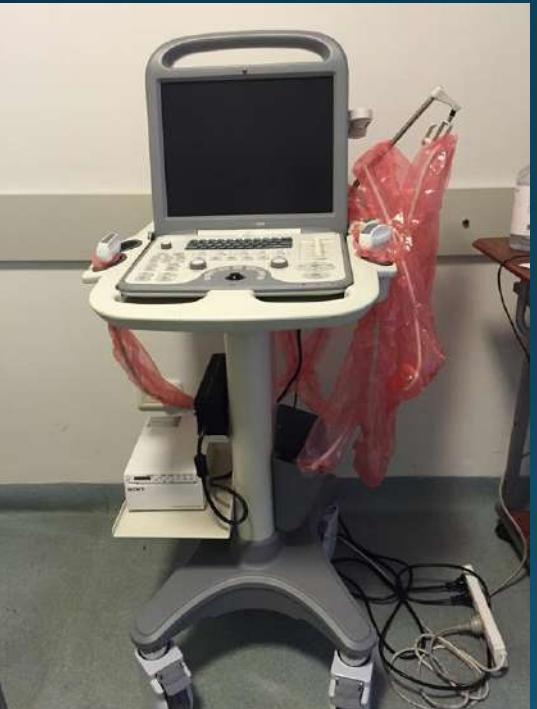


VIII JORNADAS DE MEDICINA CRÍTICA Y TERAPIA INTENSIVA PARA REGIONAL SANTA FE – ATIR Y SATI

"CUIDADO DEL PACIENTE NEUROCRÍTICO. PROCURACIÓN Y TRASPLANTE"

Viernes 09 y Sábado 10 de Junio 2023 – Hotel Plaza Real de Rosario



Atención inicial del paciente neurocrítico con el enfoque POCUS

Ignacio J. Previgliano

Prof. Titular Cátedra de Neurología CSEMC – Universidad Maimónides

Prof. Asoc. de Medicina – Universidad Maimónides

Director - Hospital Gral. de Agudos J. A. Fernández

Especialista en Neurología y Terapia Intensiva

Conflicto de Interés



- Ninguno

Objetivos

- Concepto POCUS
- Neurosonología como ejemplo de POCUS

¿Cómo traducir Point of Care Ultrasound?

- No tiene una adecuada traducción porque más que una frase es un concepto
- Se refiere al uso, por parte de un médico no especialista en radiología, de la ecografía portátil al borde de la cama de un paciente para problemas diagnósticos o terapéuticos
- Su abreviatura en inglés es POCUS

POCUS

- El examen es para un propósito bien definido relacionado con la mejora de los resultados del paciente
- El examen está enfocado y dirigido a un objetivo
 - Pregunta clínica
 - Procedimiento
 - Control de evolución

POCUS

- Preguntas concretas que debe responder el POCUS:
 - ¿Hay líquido libre en pleura, pericardio o peritoneo?
 - ¿Hay un neumotórax?
 - ¿Hay un aneurisma de aorta abdominal?
 - ¿La vena cava inferior está llena o vacía?
 - ¿Los pulmones están húmedos o secos?
 - ¿Tiene hipertensión intracranegal?

POCUS

- Los hallazgos del examen son fácilmente reconocibles
- El examen es fácil de aprender
- El examen se lleva a cabo de forma rápida
- El examen se realiza en la cabecera del paciente
- **EL EXAMEN NO REEMPLAZA AL ECOGRAFISTA ESPECIALIZADO**
 - El examen se realiza en condiciones subóptimas de posición y tiempo

Historia

- 1916: desarrollo de la ultrasonografía en la I Guerra Mundial
- 1947: Primeras imágenes del cráneo humano
- 1958: Primeras imágenes de patología abdominal
- 1990: Primeros aparatos portátiles
- 2000: Aparatos portátiles comparables en resolución a los de los departamentos de radiología





National Library of Medicine
National Center for Biotechnology Information

Log in



POCUS



Search

[Advanced](#) [Create alert](#) [Create RSS](#)

[User Guide](#)

Save

Email

Send to

Sorted by: Best match

[Display options](#)

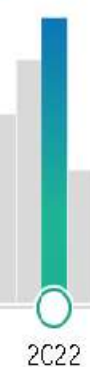
RESULTS BY YEAR

626 results

« < Page 1 of 63 > »



Reset



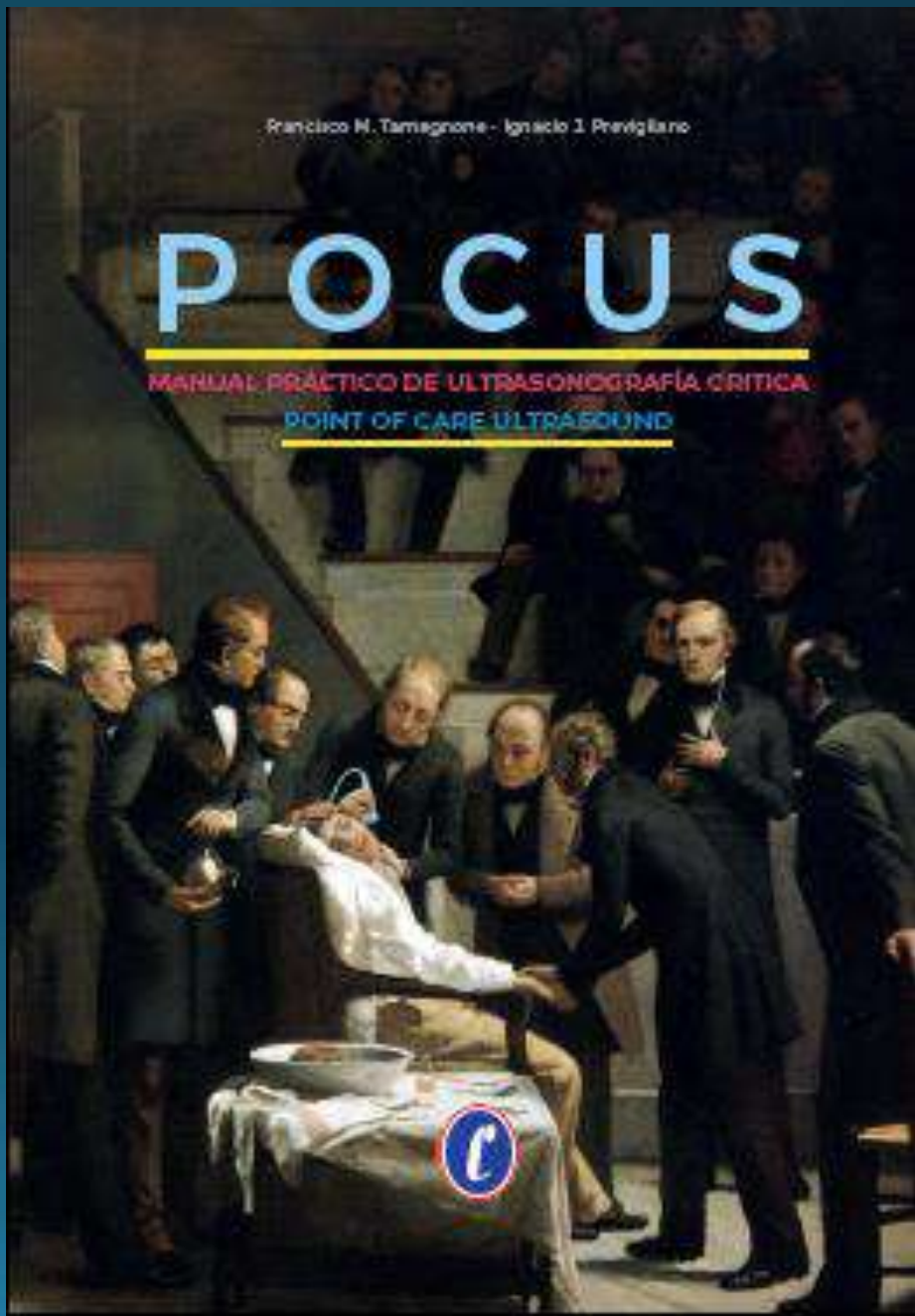
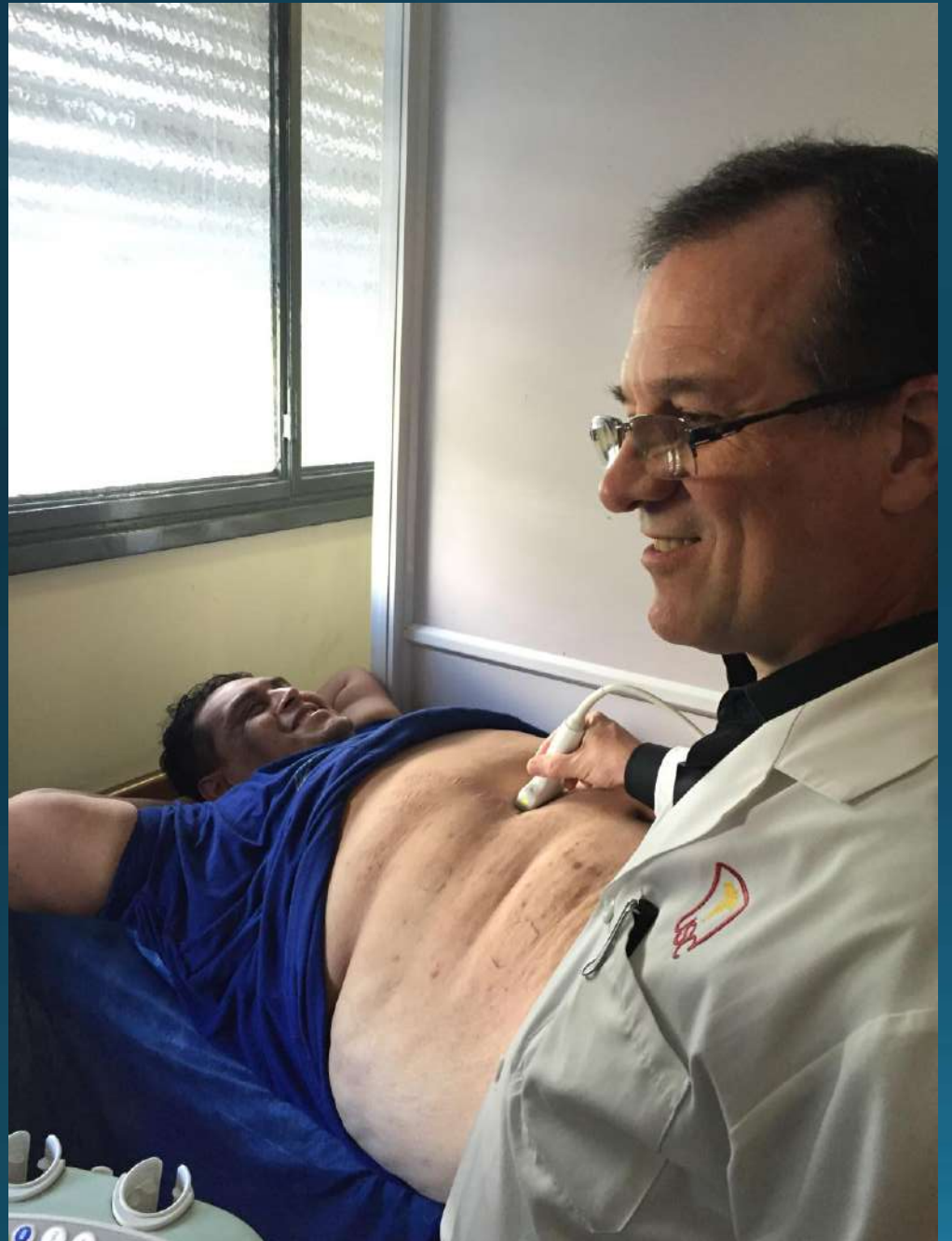
2022

Point-of-Care Ultrasound in Medical Education — Stop Listening and Look

Scott D. Solomon, M.D., and Fidencio Saldana, M.D.



*A generation of physicians will need
to be trained to view this technology
as an extension of their senses,
just as many generations have viewed
the stethoscope. That development will
require the medical education community
to embrace and incorporate the technology
throughout the curriculum.*



Neurosonología como ejemplo de POCUS

- ¿Tiene este paciente:
 - hipertensión intracraneal?
 - muerte encefálica?
 - vasoespasmo?
 - oclusión vascular?
- ¿Es correcta su perfusión cerebral?
- ¿Requiere este paciente expansión e inotrópicos para mejorarla?
 - ¿Respondió?
- ¿Tiene una isquemia o una hemorragia intracraneal?
- ¿Es efectivo el tratamiento trombolítico?
- ¿Tiene microembolias?
- ¿Tiene un cortocircuito de derecha a izquierda?

“El doppler transcraneano
es el estetoscopio del
neurólogo vascular”

Garami Z, Alexandrov AV. Neurosonology. Neurol Clin. 2009;27:89-108

“La neurosonología es más que
el doppler transcraneano”

¿Con qué lo hago?

- Doppler transcraneano espectral
- Doppler color de vasos del cuello
- Ecografía transcraneana
 - Modo B
 - Modo color
 - Modo doppler pulsado

Doppler transcraneano espectral



Doppler transcraneano espectral

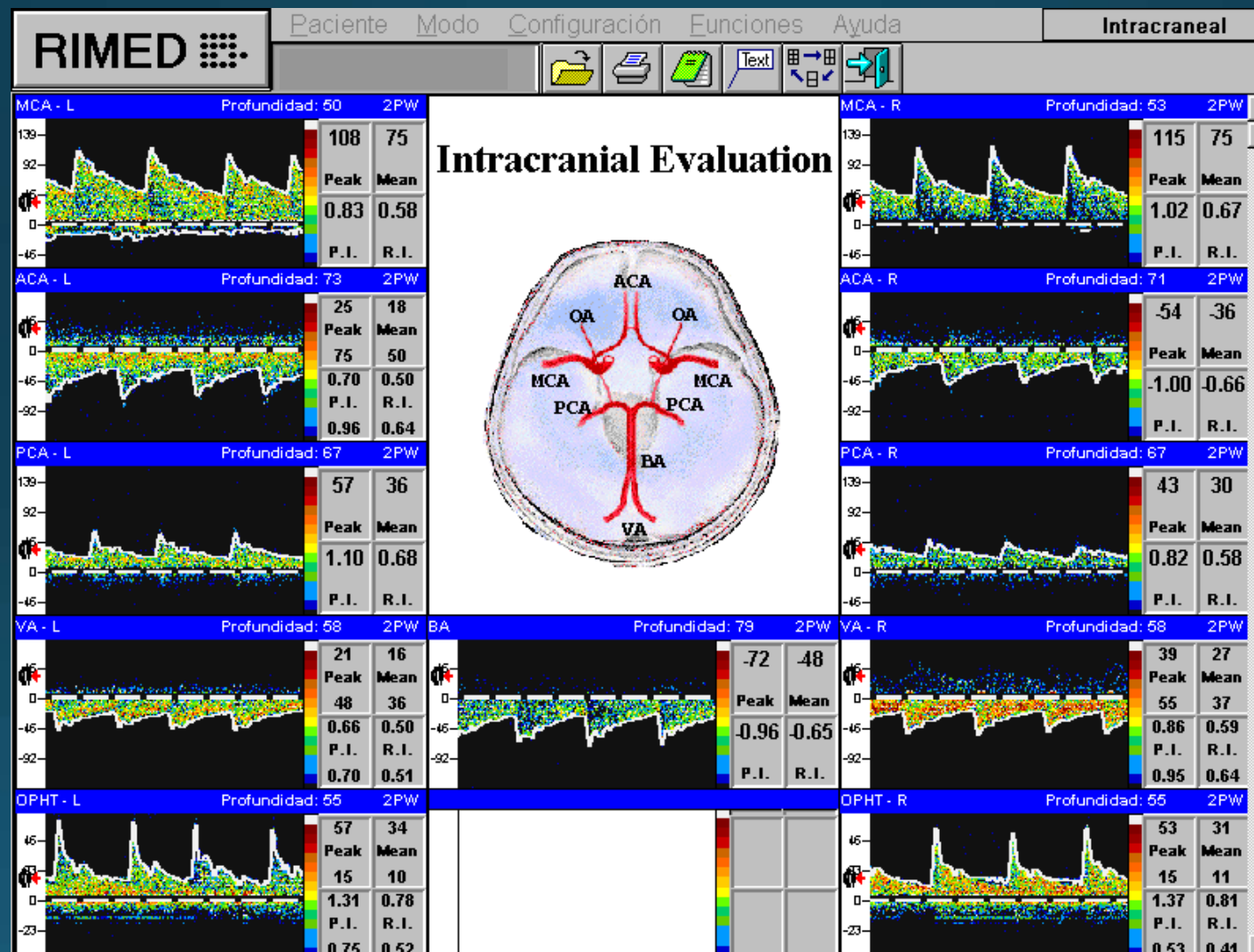
- Algunos equipos (RIMED) tienen incorporada la función modo B, color y doppler para evaluar vasos del cuello y diámetro de la vaina del nervio óptico

High Resolution Color Flow Imaging Module - for Complete Extracranial Investigations

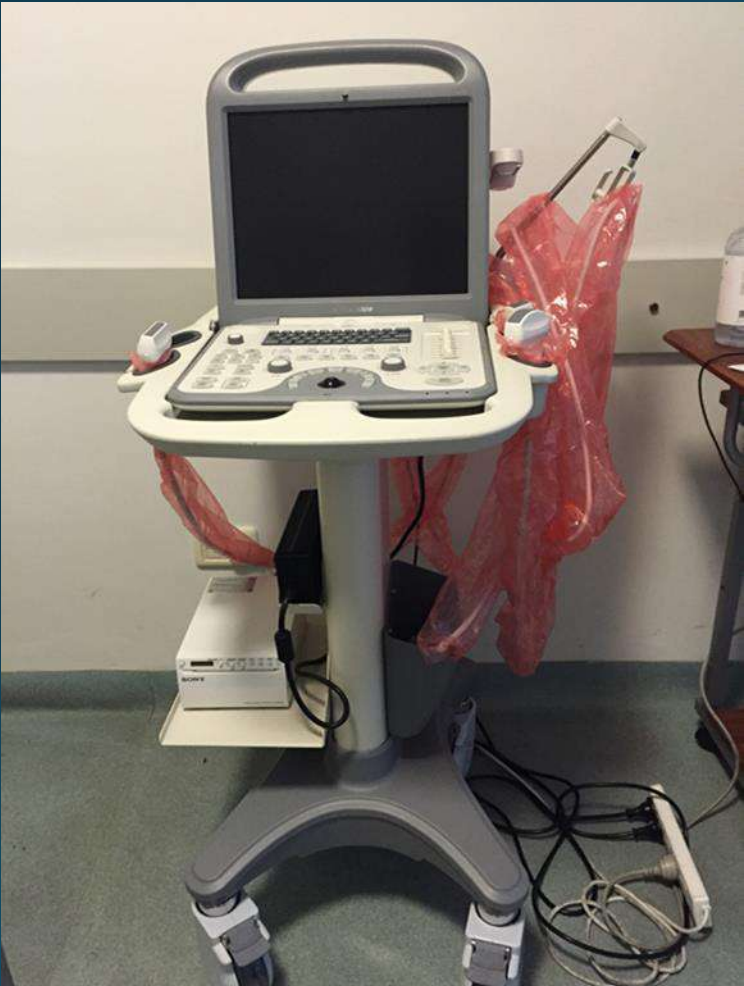
- Combining high sensitivity carotid color flow imaging
- Dedicated software integrated in to Digi-Lite™
- Custom probes for different clinical applications
- Cost-Effective and Easy-to-Operate



Identificación de Arterias



Neurosonología



- Doppler transcraneano color codificado (TCCD)
- Ecografía ocular y de la vaina del nervio óptico
- Ecografía cerebral

Neurosonología

- Permite evaluar la morfología y el flujo de las arterias intracraneales
- Visualiza estructuras anatómicas:
 - Dimensiones del III ventrículo
 - Edema con desplazamiento cerebral
- Utiliza un transductor de 1.8 mHz pulsado de equipo de ecografía general o el transductor linear
- Las velocidades son un 10% a un 30% mayores a las medidas con DTC

Técnica



SonoScape

Dr. I. Previgliano Previglia 2P1
170627173235802 06/05/1935 Cagnoli Roberto

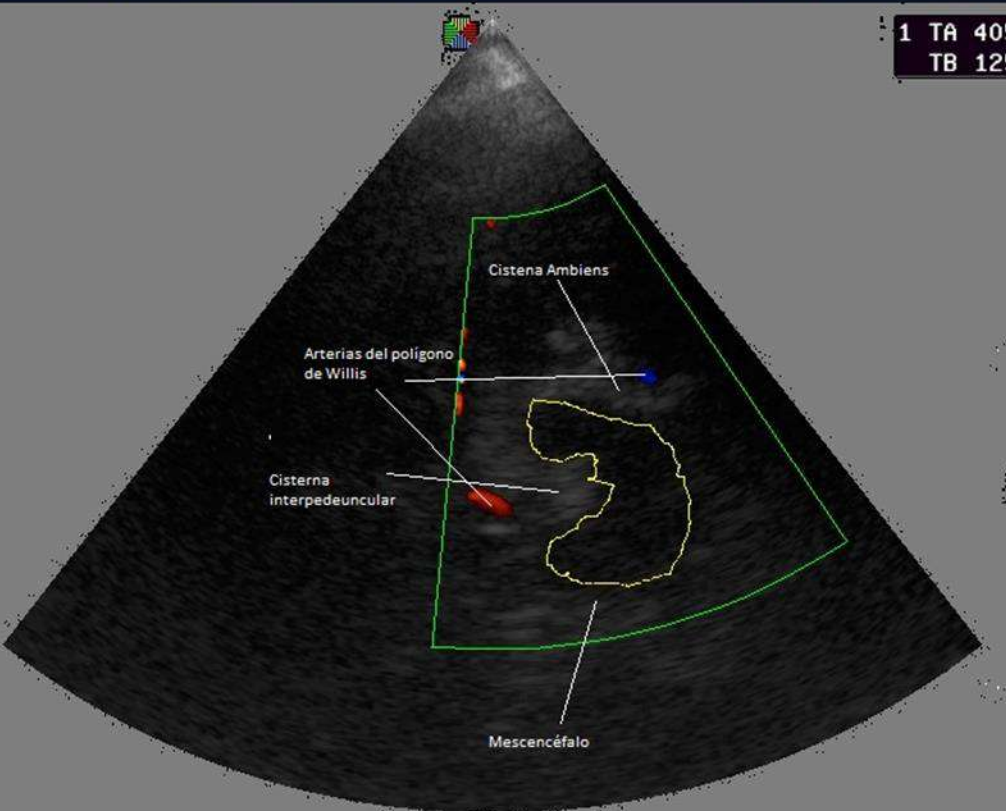
MI 1.1 TIS 1.0
27/Jun/2017 17:36:28



FPS 15
DIG 100/3
GN 255
I/P 2/30
PWR 80
FRQ 2.8-5
D 12.0cm

PRF 1.0
WF 75
GN 25
C/P 3/40
PWR 70
FRQ 2.2

1 TA 405.88 mm²
TB 125.77 mm



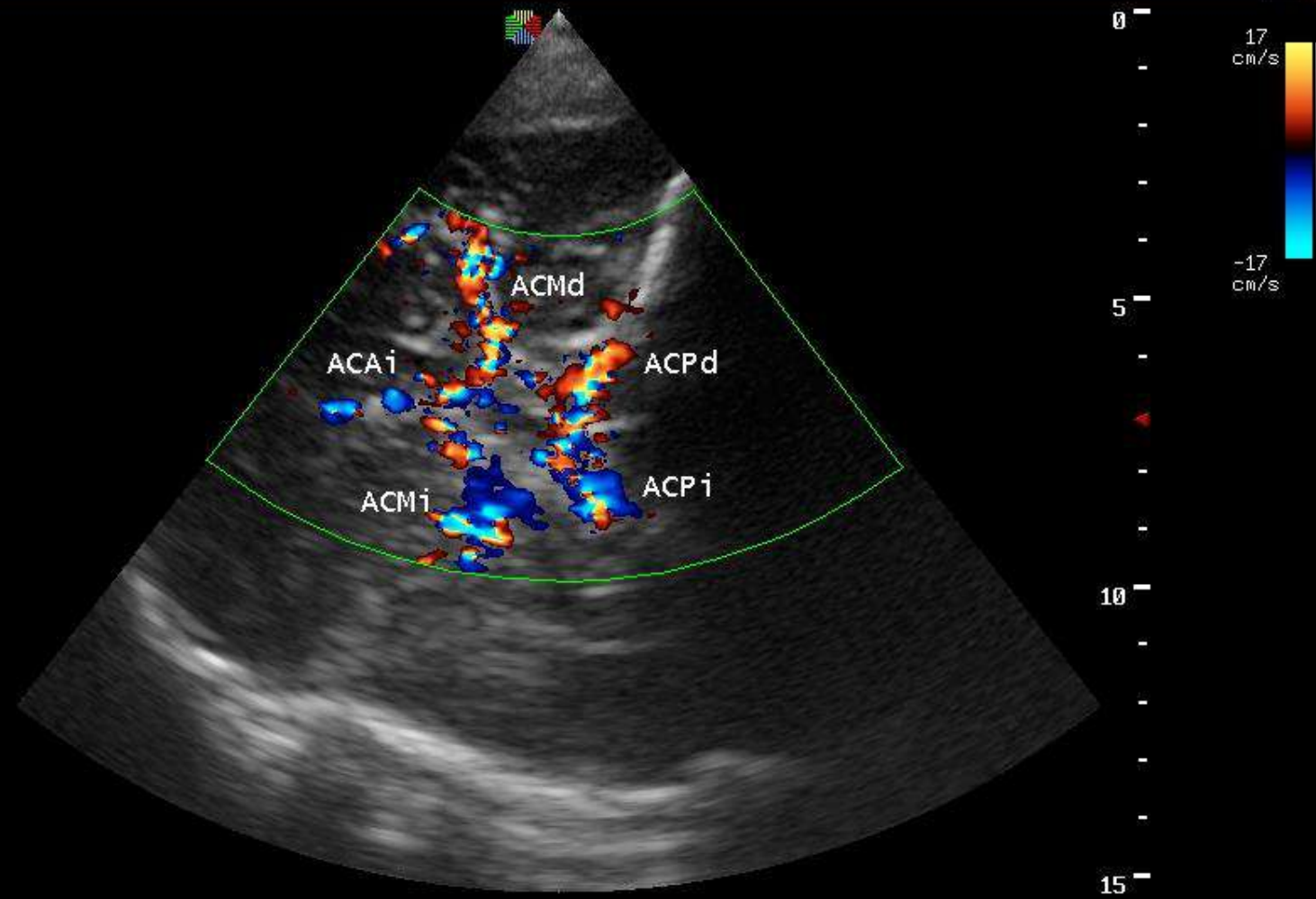
H

CINE



FPS 5
D/G 100/3
GN 255
I/P 2/30
PWR 80
FRQ 2.9- 5
D 15.3cm

PRF 1.0
WF 75
GN 25
C/P 3/40
PWR 70
FRQ 2.2



0 65 71

H

CINE

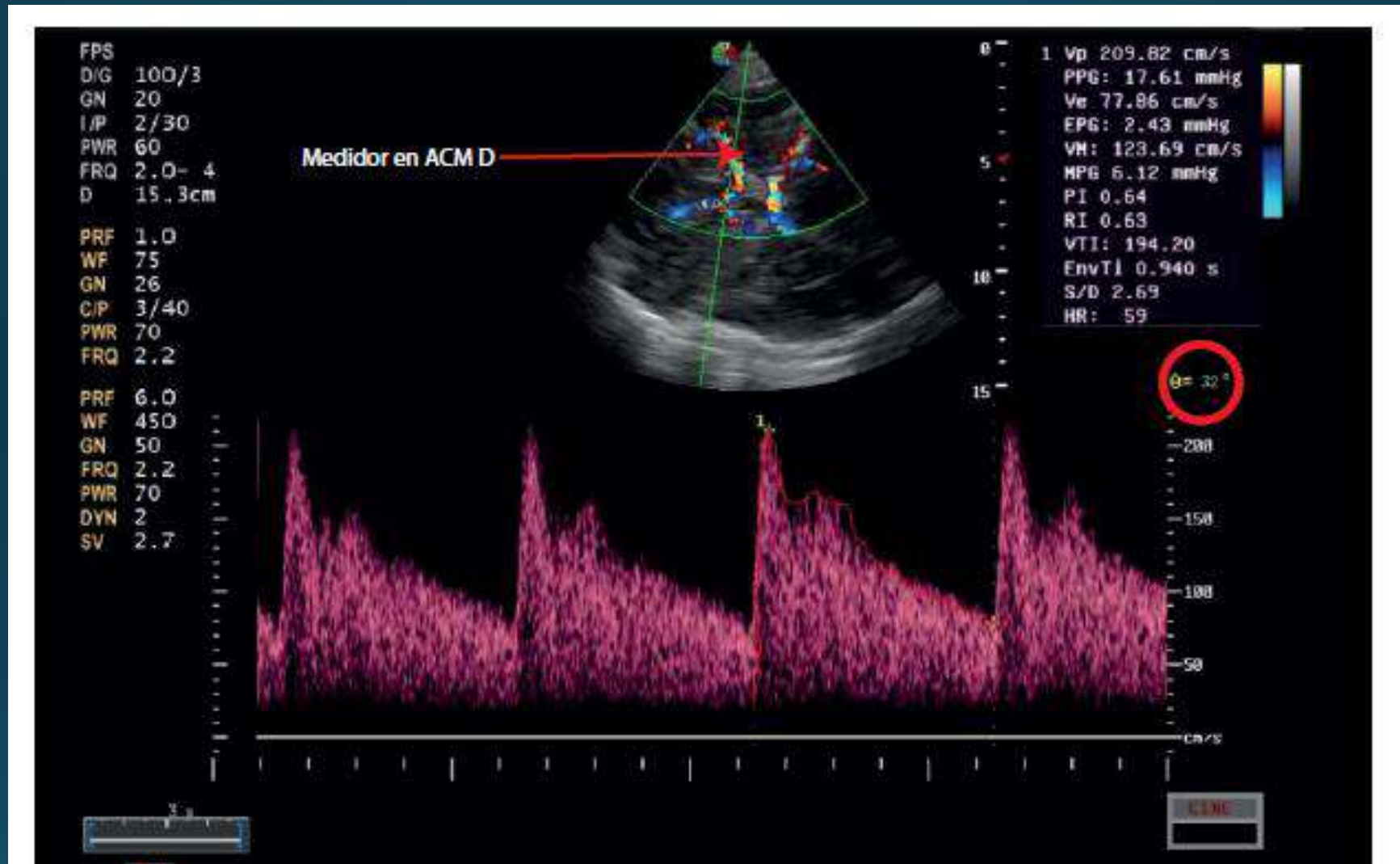


Figura 5.5: Imagen de doppler color y espectral. Arteria cerebral media derecha (ACMD). El círculo rojo marca el grado de angulación. El relieve de la onda espectral, también en rojo, permite el cálculo de velocidades e índices

¿Cómo está la autorregulación?

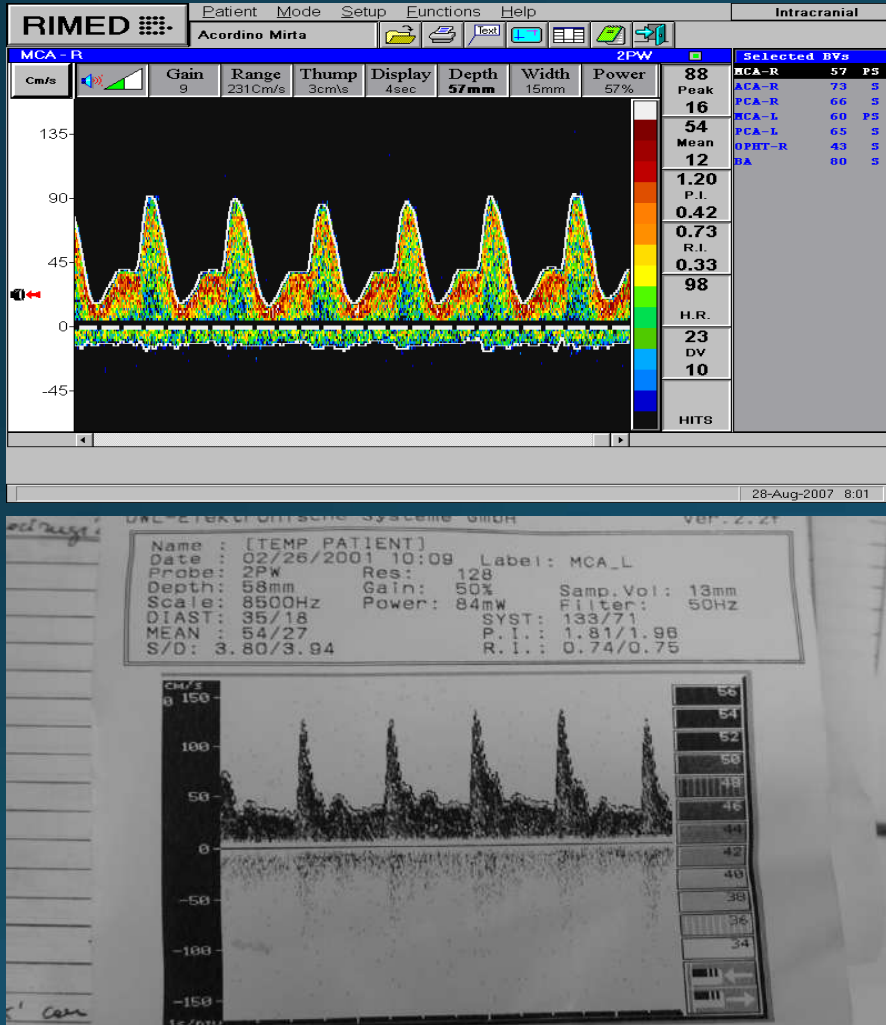
- Tests de autorregulación:
 - Presora
 - Estática
 - Dinámica
 - Test de Giller
 - Test de Aaslid
 - Metabólica
 - Reactividad al CO₂
 - Índice de apnea voluntaria (Breath Holding Index)
 - Reactividad a la acetazolamida

¿Tiene este paciente hipertensión
intracranal?

Utilidad del Doppler Transcraneano en la Unidad de Terapia Intensiva: Análisis de 481 pacientes

- Entre el 01/01/00 y el 31/12/07 se efectuaron 1650 DTC en 481 pacientes
- De ellos 290 tenían medición de PIC y 22 de saturación yugular
- En el 20% se insonaron todas las arterias y en el 80% las arterias cerebrales medias.

Patrón de hipertensión endocraneana



- Caraterizado por aumento del IP
- Velocidad diastólica baja
- Velocidad sistólica normal o alta (influencia directa sobre la media)
- Sístole bifásica

Patrón HEC en 321 pacientes



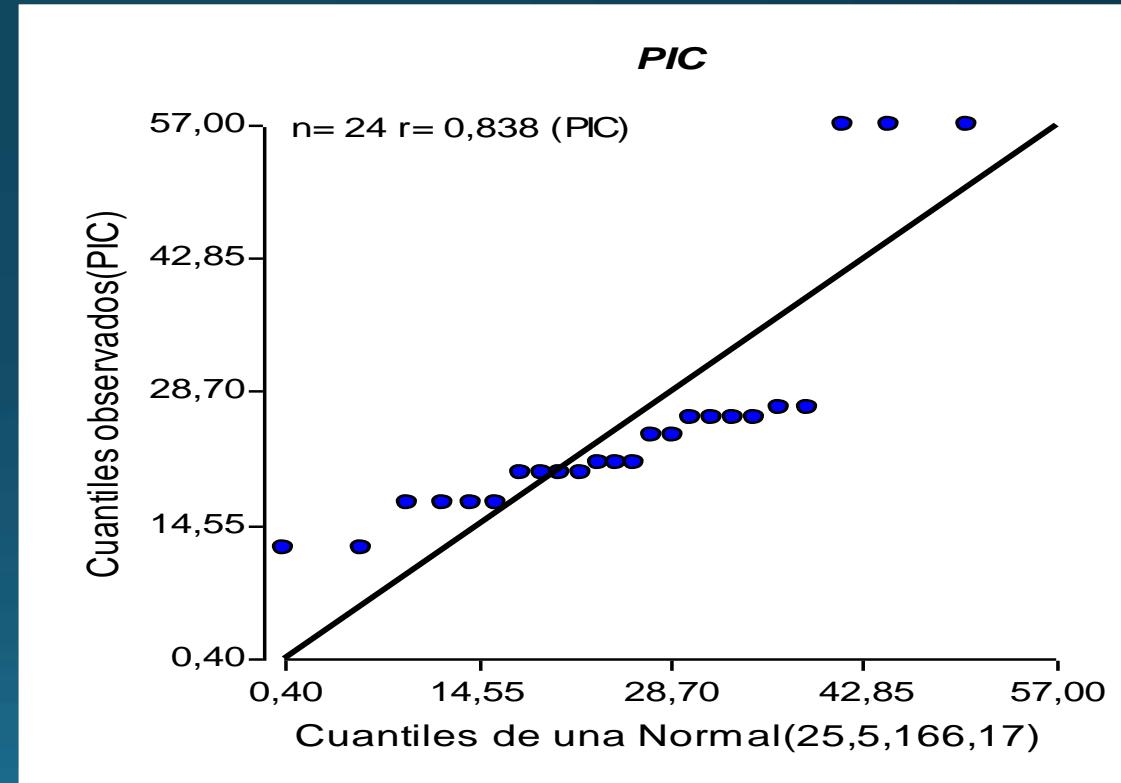
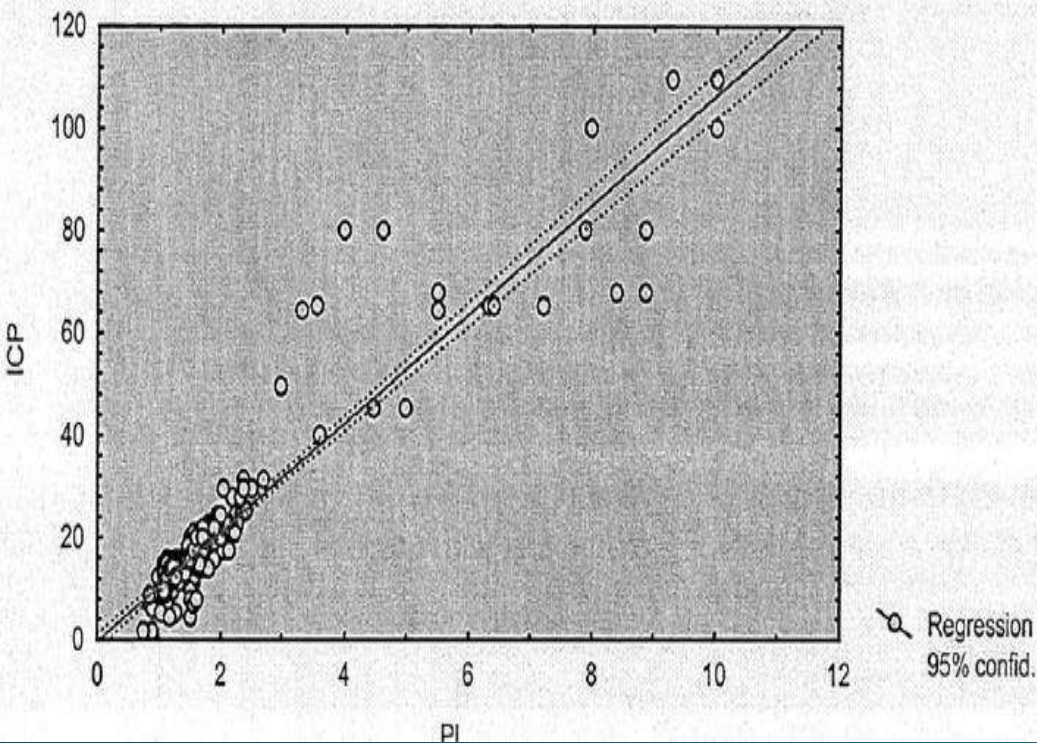
Medición indirecta de la PIC

TRANSCRANIAL DOPPLER SONOGRAPHY PULSATILITY INDEX (PI) REFLECTS INTRACRANIAL PRESSURE (ICP)

Johan Bellner, M.D.,* Bertil Romner, M.D., Ph.D.,* Peter Reinstrup, M.D., Ph.D.,*
Karl-Axel Kristiansson, M.L.T.,† Erik Ryding, M.D., Ph.D.,† and
Lennart Brandt, M.D., Ph.D.†

*Department of Neurosurgery, Department of Anesthesiology & Intensive Care and

†Department of Neurophysiology, University Hospital of Lund, Lund, Sweden



¿Cómo está la perfusión cerebral?

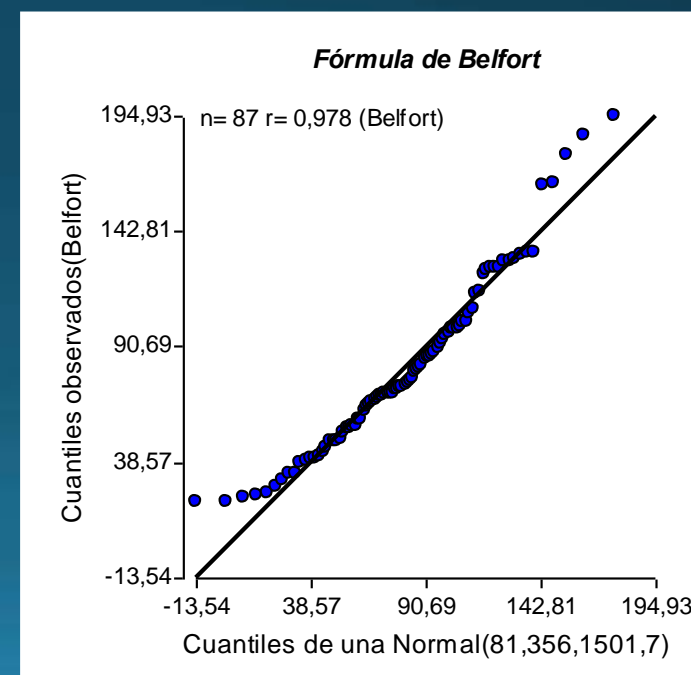
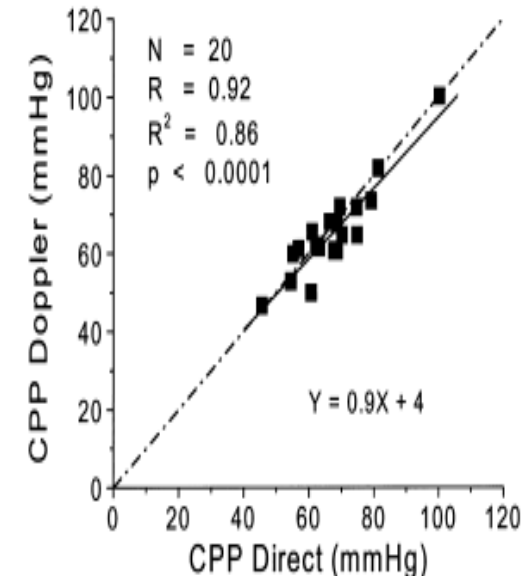
HYPERTENSION IN PREGNANCY, 19(3), 331–340 (2000)

The Doppler-estimated cerebral perfusion pressure (CPPe) was calculated by the computer using the formula

$$\text{CPPe} = \frac{V_{\text{mean}}}{V_{\text{mean}} - V_{\text{diastolic}}} (\text{BP}_{\text{mean}} - \text{BP}_{\text{diastolic}})$$

EVALUATION OF A NONINVASIVE TRANSCRANIAL DOPPLER AND BLOOD PRESSURE-BASED METHOD FOR THE ASSESSMENT OF CEREBRAL PERFUSION PRESSURE IN PREGNANT WOMEN

Michael A. Belfort,¹ M.D., Cathy Tooke-Miller,¹ R.N.,
Michael Varner,¹ M.D., George Saade,² M.D.,
Charlotta Grunewald,³ M.D., Ph.D., Henry Nisell, M.D., Ph.D., and
J. Alan Herd,⁴ M.D., Ph.D.

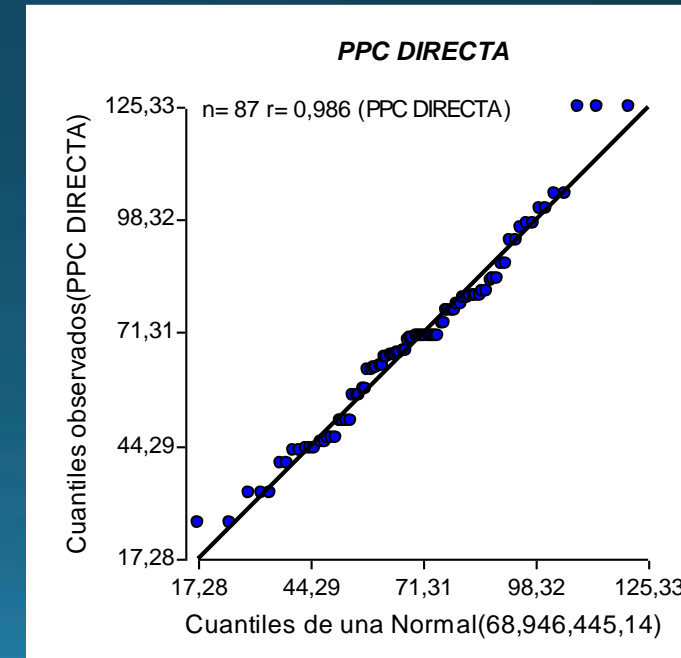
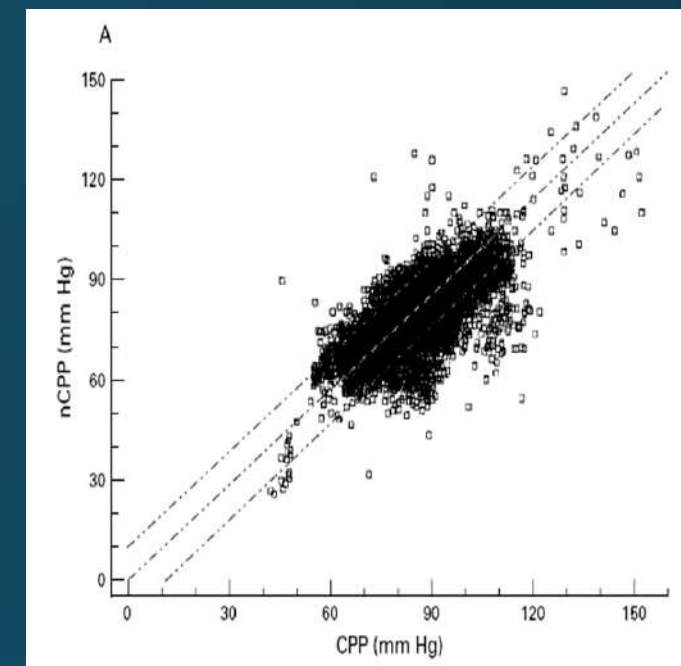


J Neurol Neurosurg Psychiatry 2001;70:198–204

Preliminary experience of the estimation of cerebral perfusion pressure using transcranial Doppler ultrasonography

E A Schmidt, M Czosnyka, I Gooskens, S K Piechnik, B F Matta, P C Whitfield, J D Pickard

The non-invasive CPP (nCPP) calculation was based on a formula previously published¹⁰:
 $n\text{CPP} = \text{meanABP} \times \text{FVd} / \text{meanFV} + 14 \text{ mm Hg}$



¿Tiene vasoespasmo?

Patrón vasoespasmo

- Aumento de todas las velocidades
- Índice de pulsatilidad menor de 0.9 (revela vasodilatación distal)
- Índice de Lindergaard ($VACI/VACM > 3$)
- A mayor índice de Lindergaard mayor severidad del vasoespasmo

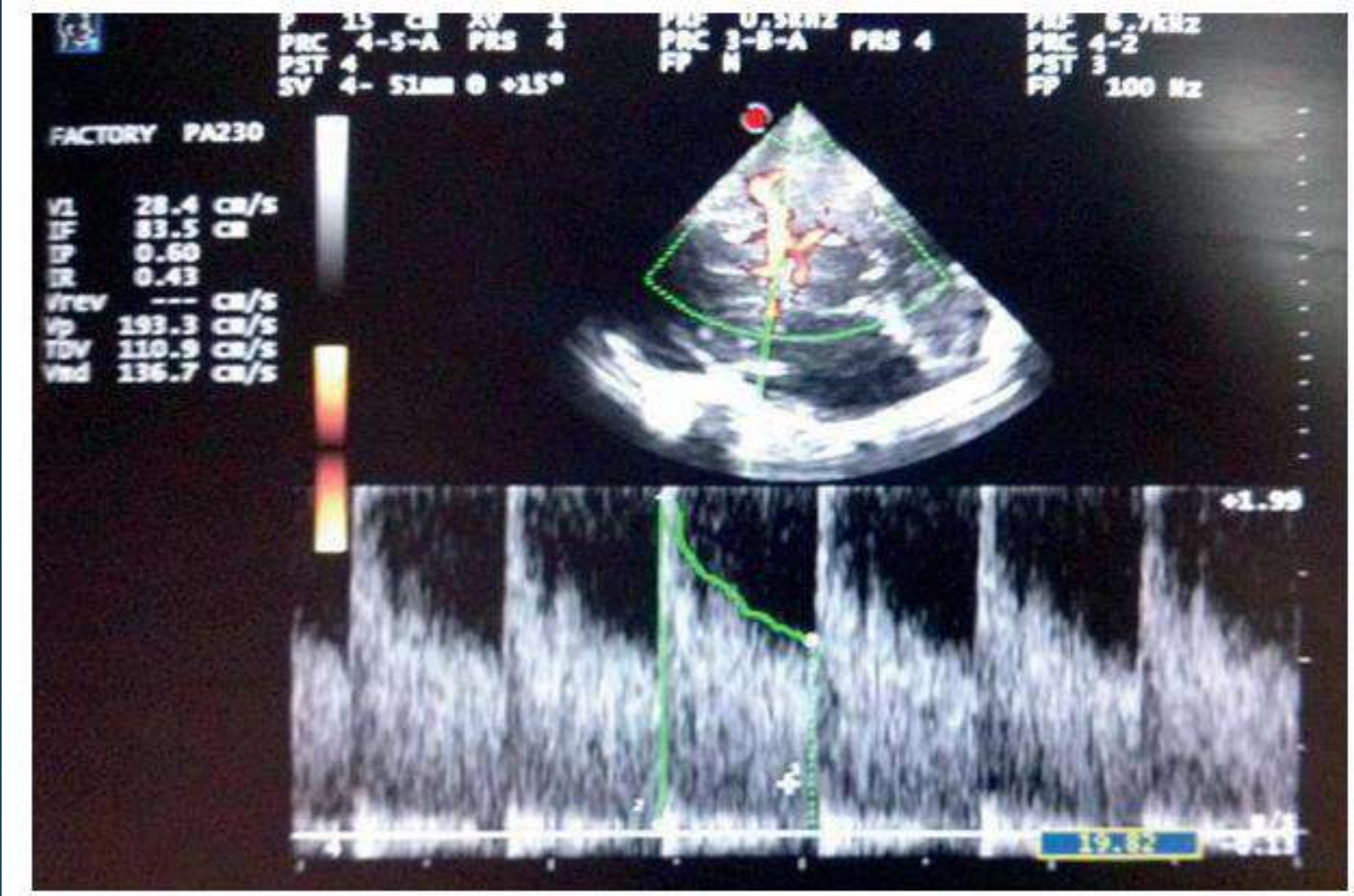


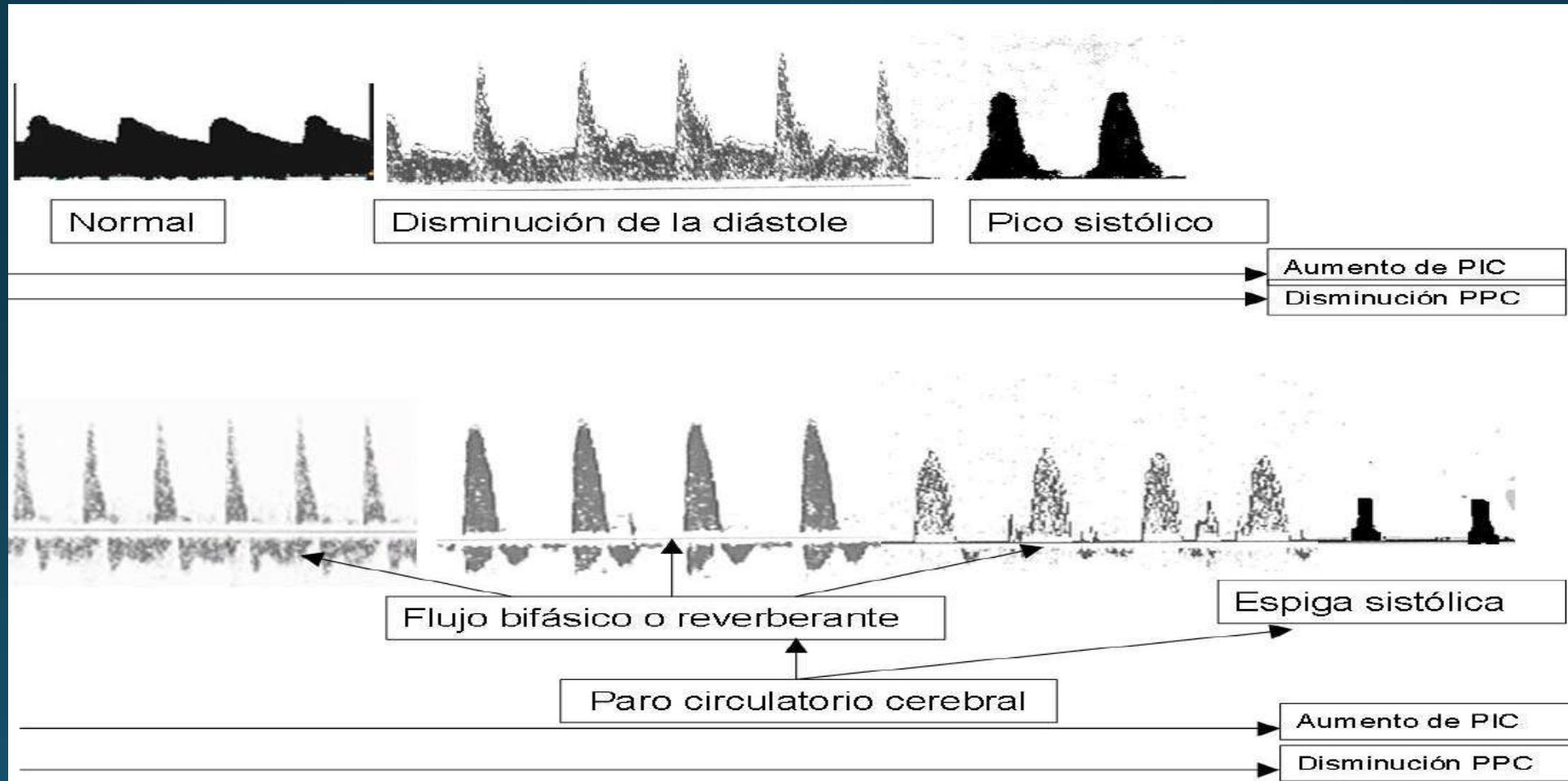
Figura 5,10: Visualización de patrón de vasoespasmo por doppler color y espectral

¿Tiene muerte encefálica?

Patrón de muerte encefálica

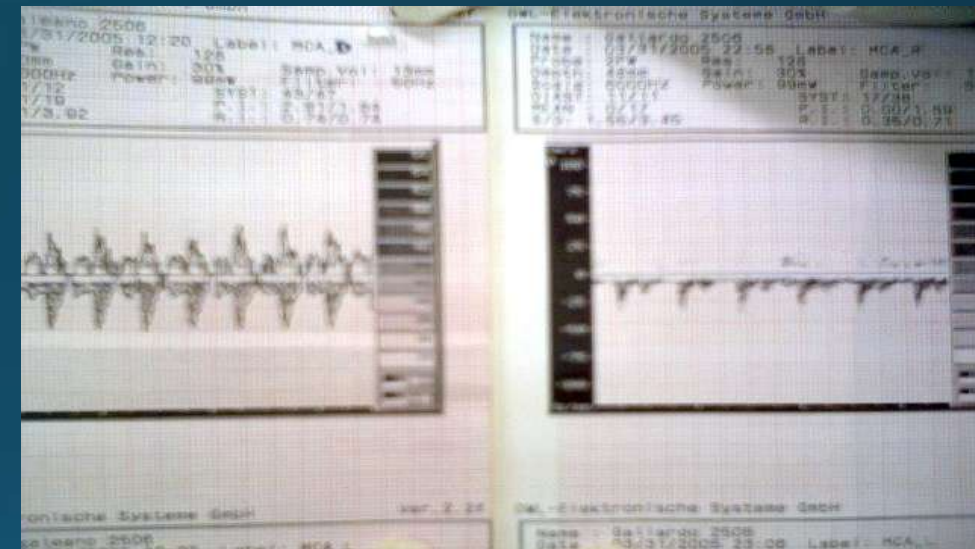
- Flujo reverberante
- Espiga sistólica
- Ausencia de flujo, con flujo previo demostrado, en lo posible, por el mismo operador
- ¿Separación de sístole y diástole?

Patrón de ME



Consenso en el diagnóstico de hipertensión endocraneana y paro circulatorio usando DTC
Modificado de Journal of the Neurological Sciences 1998;159:145-150 con datos propios

Transición de HEC a ME



Patrón normal

- 98% de los pacientes se recuperaron con buenos resultados (secuela leve o sin secuela)
- Especificidad 0.99
- Sensibilidad 0.75
- Valor de predicción positivo 0.99
- Valor de predicción negativo 0.75
- Likelihood Ratio +3.95.

Guía de tratamiento

A pilot study of transcranial Doppler-guided initial resuscitation of traumatic and non-traumatic comatose patients

F. TAMAGNONE¹, E. MARTÍNEZ^{2,3}, S. D. BLEJMAN³
J. I. RUBIANES¹, I. J. PREVIGLIANO²

¹Instituto Argentino de Diagnóstico y Tratamiento, Buenos Aires, Argentina; ²Hospital General de Agudos Juan A. Fernández, Buenos Aires, Argentina; ³Sanatorio Colegiales, Buenos Aires, Argentina

ABSTRACT

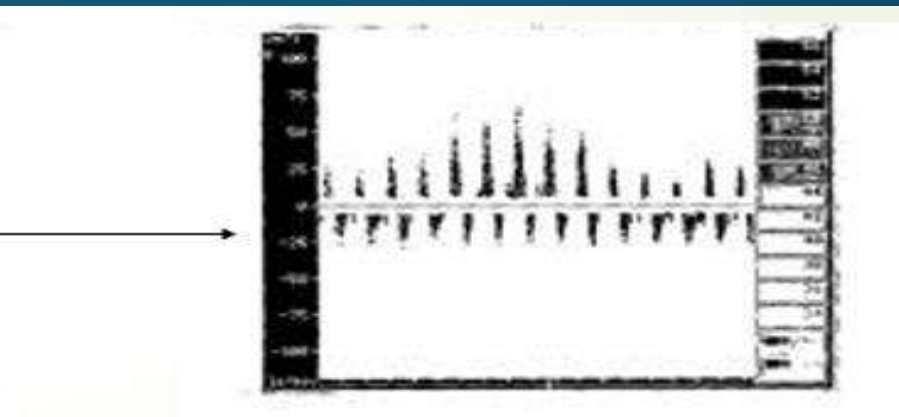
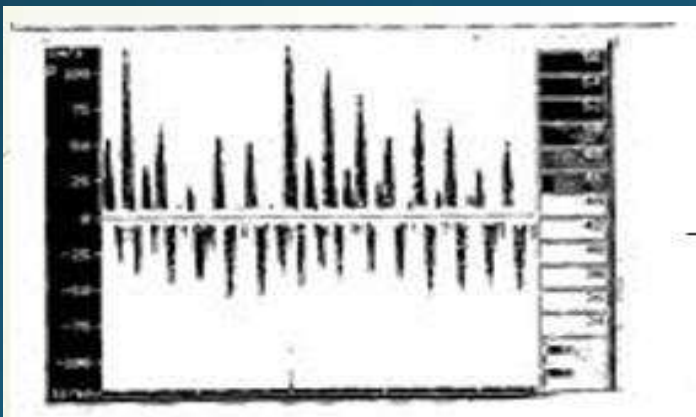
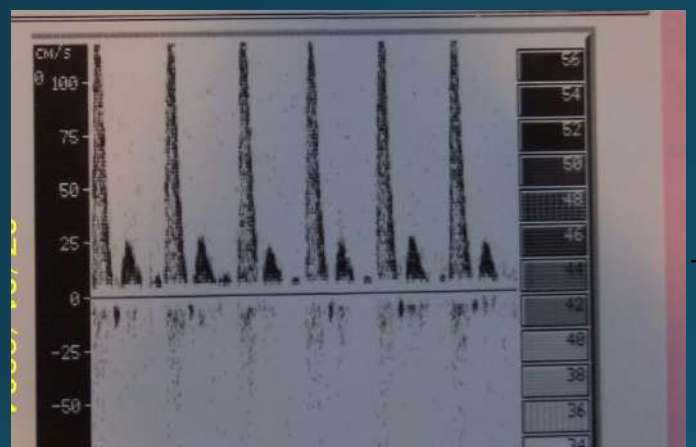
Background. The aim of this study was to evaluate the usefulness of early Transcranial Doppler (TCD) in guiding initial resuscitation of traumatic and non-traumatic comatose patients before diagnostic imaging and invasive neurologic monitoring.

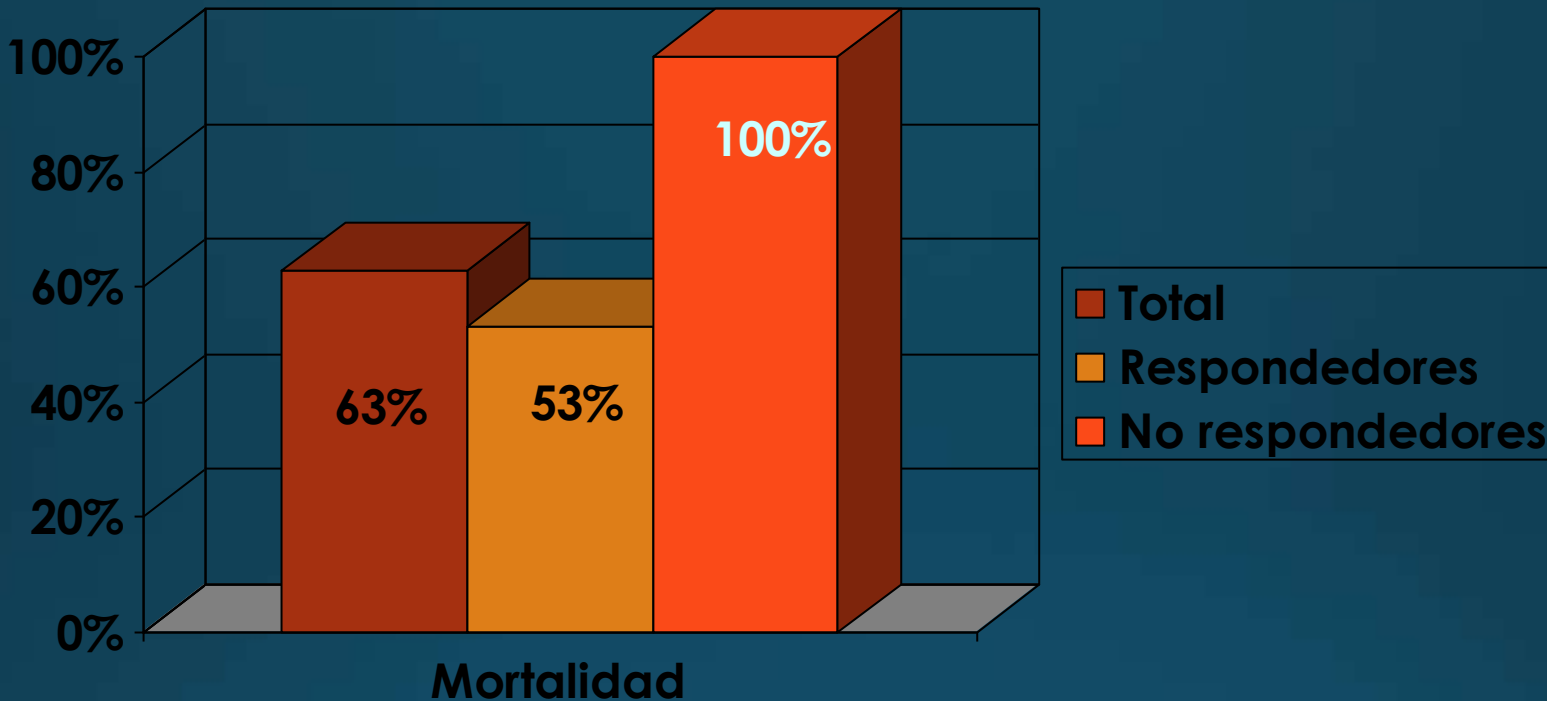
Methods. This was a prospective, interventional study and included patients in coma, before performing diagnostic imaging. A TCD was performed as soon as possible upon admission. Diastolic velocity (DV) <20 cm/s and Pulsatility Index (PI) >1.4 at both middle cerebral arteries were considered abnormal and specific therapy was started with fluid expansion with 2 L 0.9% saline solution, followed by norepinephrine infusion to increase MAP above 110 mmHg. An increment in DV >20 cm/s was considered as a good response.

Results. Twenty-eight patients were included, 9 had normal TCD and 19 (68%) had abnormal TCD values. Mean values pre- and post-treatment were: MAP $84 \pm 16 / 121 \pm 9$ mmHg; PI $2.26 \pm 0.52 / 1.28 \pm 0.47$; DV $13 \pm 7 / 33 \pm 18$ cm/s ($P < 0.0001$ for all values); 13 patients (68%) were responders. Global mortality was 46 %. We find that the presence of oscillating flow, systolic peak or DV <20 cm/s after treatment, were associated with brain death in 100% of cases. Presence of a normal TCD was associated with no mortality.

Conclusion. Our study suggests that early TCD is feasible to evaluate qualitative information about cerebral perfusion in comatose patients while they are waiting for diagnostic imaging studies. (*Minerva Anestesiol* 2014;80:1012-7)

Key words: Ultrasonography, Doppler, transcranial - Coma - Brain death.





- El aumento de la PAM con expansión e inotrópicos en presencia de PAM consideradas normales permitió mejorar la hipoperfusión en el 68% de los casos, con una sobrevida del 47%.
- La persistencia de flujo reverberante, pico sistólico y VD menor de 20 se asocia con una probabilidad 6 veces mayor de muerte encefálica, mientras que la presencia de un DTC normal se asocia con una probabilidad 2 veces mayor de buenos resultados.



Ultrasound-guided cerebral resuscitation in patients with severe traumatic brain Injury

Francisco Marcelo Tamagnone¹ · Issac Cheong^{1,2,6} · Ezequiel Luna³ · Ignacio Previgliano^{4,5} · Victoria Otero Castro²

Received: 7 May 2022 / Accepted: 24 November 2022
© The Author(s), under exclusive licence to Springer Nature B.V. 2022

Abstract

Traumatic brain injury (TBI) is a worldwide public health concern given its significant morbidity and mortality, years of potential life lost, reduced quality of life and elevated healthcare costs. The primary injury occurs at the moment of impact, but secondary injuries might develop as a result of brain hemodynamic abnormalities, hypoxia, and hypotension. The cerebral edema and hemorrhage of the injured tissues causes a decrease in cerebral perfusion pressure (CPP), which leads to higher risk of cerebral ischemia, herniation and death. In this setting, our role as physicians is to minimize damage by the optimization of the CPP and therefore to reduce mortality and improve neurological outcomes. Performing a transcranial doppler ultrasound (TCD) allows to estimate cerebral blood flow velocities and identify states of low flow and high resistance. We propose to include TCD as an initial assessment and further monitoring tool for resuscitation guidance in patients with severe TBI. We present an Ultrasound-Guided Cardio-cerebral Resuscitation (UGCeR) protocol in Patients with Severe TBI.

Keywords Transcranial doppler · TCD · Traumatic brain injury · TBI · Cerebral perfusion pressure · CPP

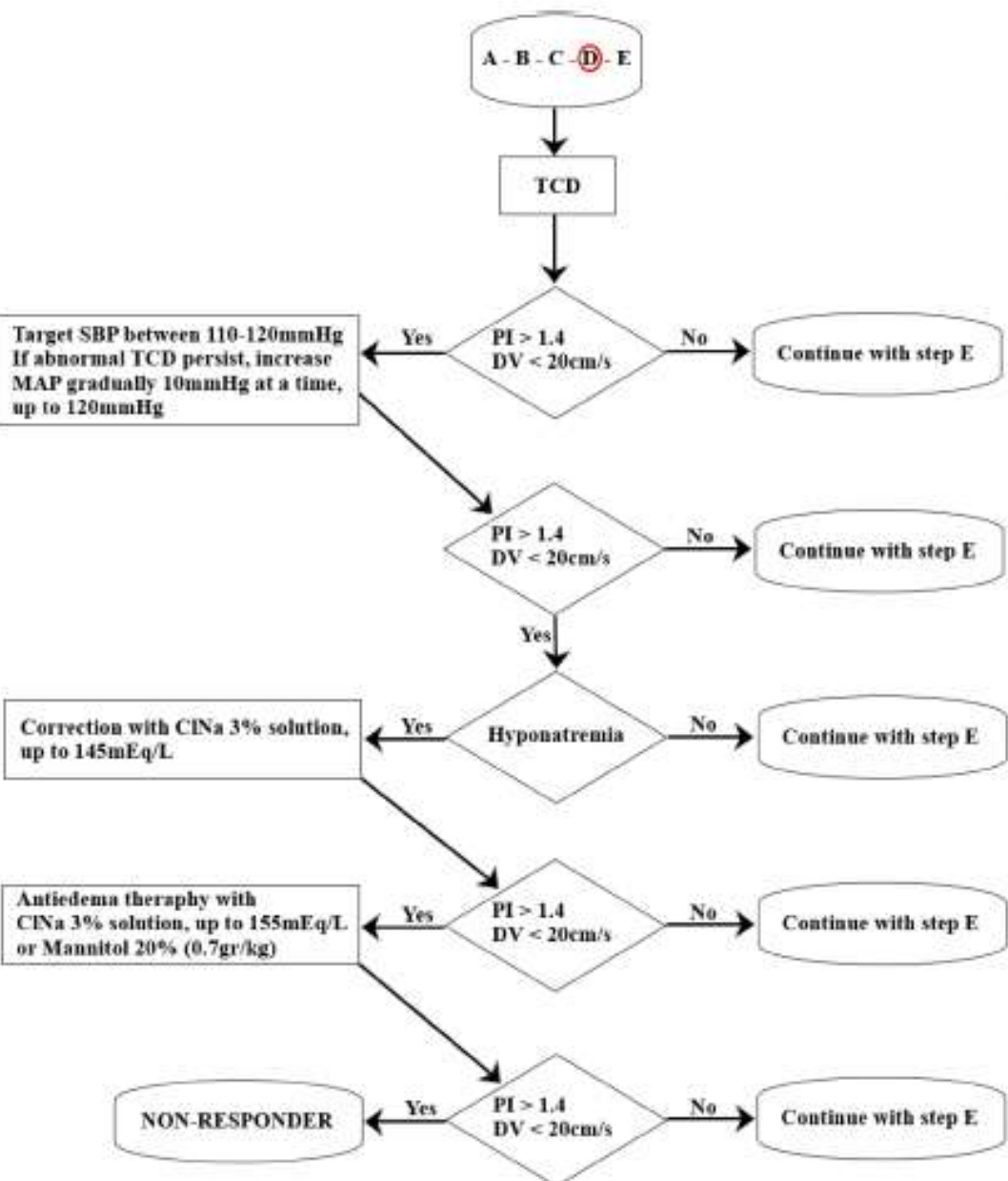


Fig. 1 The Ultrasound-Guided Cardio-cerebral Resuscitation (UG CeR) protocol

Conclusiones

- El objetivo principal del protocolo ReCCUs es evitar la lesión secundaria, clave para mejorar la sobrevida del TEC
- Por lo tanto es de suma importancia contar con datos objetivos acerca de la PPC
- ReCCUs se puede convertir en una herramienta que puede cambiar el futuro de algunos pacientes, especialmente en países donde las distancias para encontrar hospitales con la complejidad y los especialistas necesarios son considerables

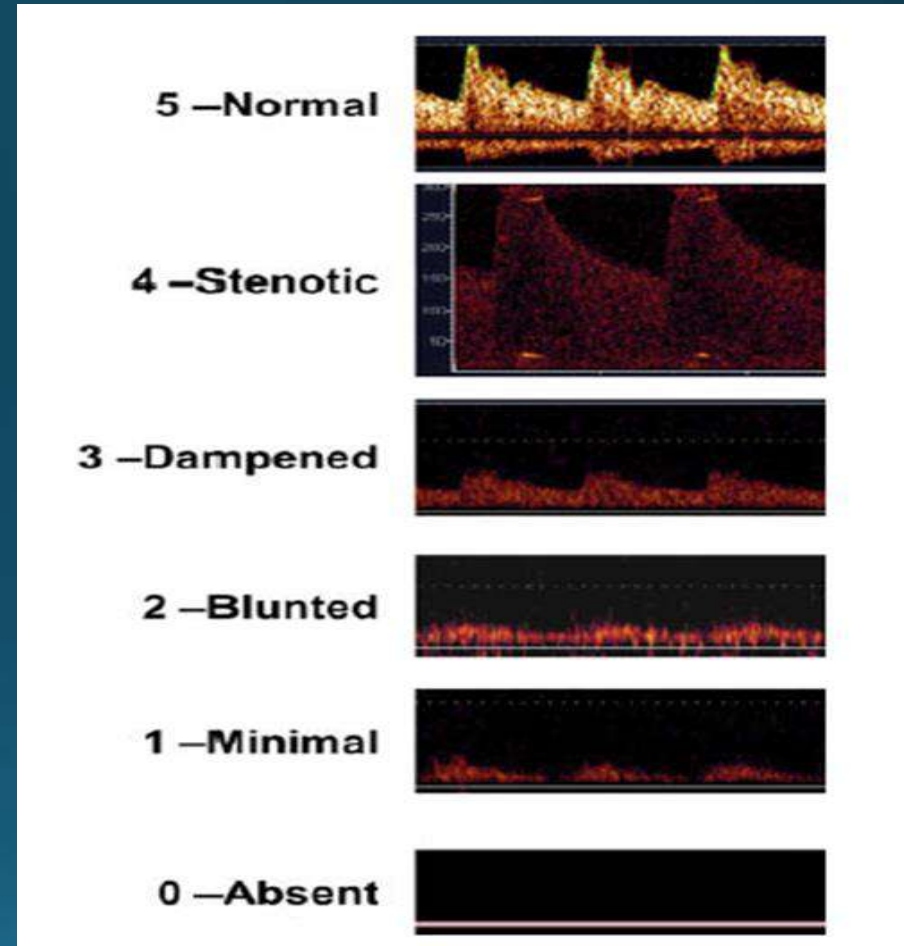
Conclusiones

- Este protocolo fue diseñado en base a la bibliografía disponible y fue adaptado para insertarse al punto D del ATLS, mundialmente utilizado
- Realizar esta medición no debería demorar la atención inicial del paciente y, al tratarse de un método no invasivo y portátil, puede realizarse al lado de la cama del paciente y en simultáneo con otras intervenciones
- Nuestra intención con el ReCCUs es mejorar la atención de los pacientes con TEC grave, al realizarla más específica y tempranamente
- Invitamos a los que consideren este protocolo como una alternativa adicional a la D del ATLS a sumarse a realizar un estudio de validación del mismo

CLOTBUST

- Combined Lysis of Thrombus in Brain ischemia using transcranial Ultrasound and Systemic TPA (fase II, n=126)
 - Recanalización:
 - 49% vs 30% (p <0,003)
 - Evolución a tres meses:
 - 42% vs 29% (p <0,20)
 - Sangrado sintomático:
 - 4.8% en cada grupo

TIBI



CLOTBUST Investigators. Ultrasound-enhanced systemic thrombolysis for acute ischemic stroke. N Engl J Med. 2004;351:2170-8.

Graduación del flujo residual: Thrombolysis in Brain Ischemia

Safety and Efficacy of Ultrasound-Enhanced Thrombolysis : A Comprehensive Review and Meta-Analysis of Randomized and Nonrandomized Studies

Georgios Tsivgoulis, Jürgen Eggers, Marc Ribo, Fabienne Perren, Maher Saqqur, Marta Rubiera, Theodoros N. Sergentanis, Konstantinos Vadikolias, Vincent Larrue, Carlos A. Molina and Andrei V. Alexandrov

Table 3. sICH, Complete Recanalization, and Functional Independence Rates Among Different US Modalities in Randomized and Nonrandomized Studies of Ultrasound-Enhanced Thrombolysis

Variable	tPA	tPA+TCD $\pm \mu\text{S}$ §	tPA+TCCD $\pm \mu\text{S}$ ¶	tPA+LFUS
Randomized studies				
N of patients	105	78	27	14
sICH (95% CI)*	2.9% (0%–8.4%)	3.8% (0%–11.2%)	11.1% (0%–28.9%)	35.7%† (16.2%–61.4%)
Complete recanalization (95% CI)	17.2% (9.5%–24.9%)	37.2% (26.5%–47.9%)	26.9% (9.9%–44.0%)	NA
Functional independence (mRS 0–1)*	20.6% (12.6%–31.8%)	40.7% (29.1%–53.4%)	22.2% (6.4%–47.6%)	NA
Randomized and nonrandomized studies				
N of patients	141	208	53	14
sICH (95% CI)*	3.5% (0%–8.3%)	3.8% (0%–7.5%)	9.7% (0%–20.7%)	35.7%‡ (16.2%–61.4%)
Complete recanalization (95% CI)	18.8% (12.0%–25.5%)	40.9% (34.2%–47.6%)	42.3% (28.9%–55.7%)	NA
Functional independence (mRS 0–1)*	24.0% (16.8%–33.1%)	40.3% (32.4%–48.8%)	22.2% (6.4%–47.6%)	NA

mRS indicates modified Rankin Scale Score.

*Adjusted for tPA.

DTC para ACV agudo

- A favor
 - Seguro
 - No invasivo
 - “Bedside”
 - Detección de MES para predecir recurrencia de ACV o AIT
 - Util para investigar el ACV “criptogenético” con la técnica de “burbujas”
 - Sonotrombolisis
 - Monitorización intraoperatoria
- En contra
 - 5% a 20% de los pacientes no tienen buena ventana o carecen de ella
 - Altamente operador dependiente, requiere una considerable habilidad y experiencia para una adecuada interpretación

Señales microembólicas

Señales microembólicas o High Intensity Signals (HITS)

- El consenso sobre detección de MES ha establecido:
 - Son señales de corta duración (<0,01- 0,03 s)
 - Con aumento unidireccional de la intensidad
 - La intensidad debe ser > 3 dB dentro del espectro de frecuencia Doppler de fondo
 - MES aparecen al azar dentro del ciclo cardíaco y
 - Pueden producir un sonido similar a "silbido", "gorgojo", o "click" al pasar a través del volumen de la muestra.

SME: detección

- Las SME pueden detectarse a través del aguzado oído de un operador experimentado o utilizando el software de detección de émbolos con el que cuentan las principales máquinas de DTC
- Estos softwares indican la duración, intensidad y localización dentro del espectro doppler, y las cuentan y agrupan de acuerdo a su intensidad
- La utilización de los mismos en conjunto con el modo M (Power Motion) permite la visualización de múltiples ventanas, con la dirección del flujo (rojo hacia el transductor, azul desde el transductor) y sin sonido más allá de la ventana en la que se encuentra trabajando.

Moehring MA, Spencer MP. Power M-mode Doppler (PMD) for observing cerebral blood flow and tracking emboli. Ultrasound in Medicine and Biology. 2002; 28: 49–57.

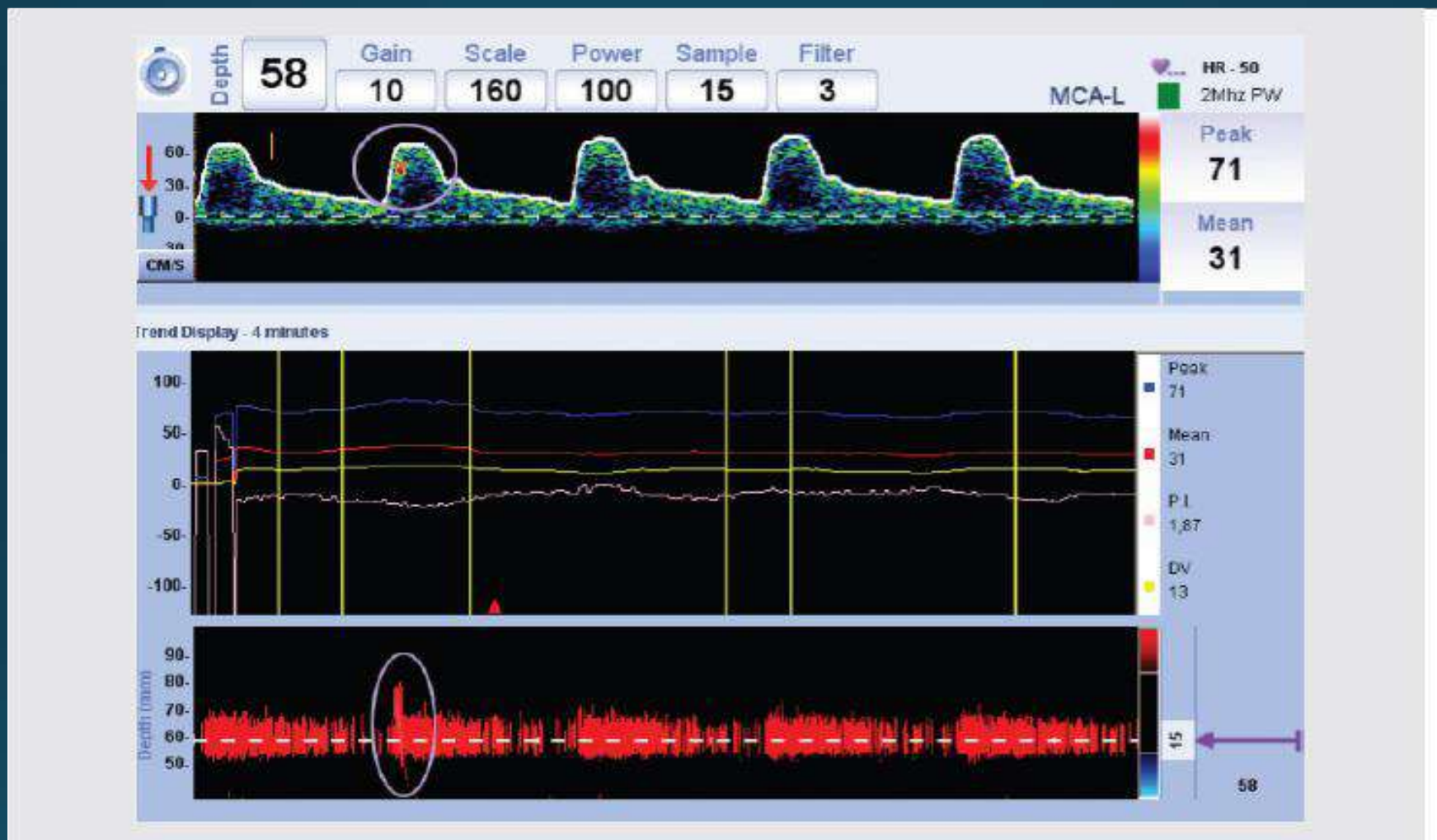


Figura 1. Señales microembólicas (HITS, High Intensity Signals). En el círculo de la parte superior se aprecia la señal de alta energía en la sistole del ciclo y en el óvalo de la parte inferior se observa cómo pasa la puerta en estudio. Las líneas amarillas son marcas de otras señales a lo largo del estudio.

SME: Importancia



- Los pacientes con SME, especialmente si éstas se presentan en un gran número, deben ser considerados como pacientes de alto riesgo para un ataque cerebrovascular isquémico
- La detección de SME indica una fuente embolígena que debe ser identificada, ya sea a punto de partida cardíaco, carotídeo o por estados procoagulantes
- Es de utilidad su identificación durante el monitoreo de procedimientos invasivos o cirugía carotídea, así como durante la cirugía cardiaca, y también para el seguimiento terapéutico posterior.

Importancia de la detección de señales microembólicas por Doppler Transcraneano en la prevención del ACV isquémico



Prof. Ignacio Previgliano

Especialista en Neurología y Terapia Intensiva.

Profesor Titular Cátedra de Neurología CEMC. Universidad Maimónides.

Jefe de Unidad de Terapia Intensiva - Hospital General de Agudos J. A. Femández



Dra. Valeria Kuchkaryan

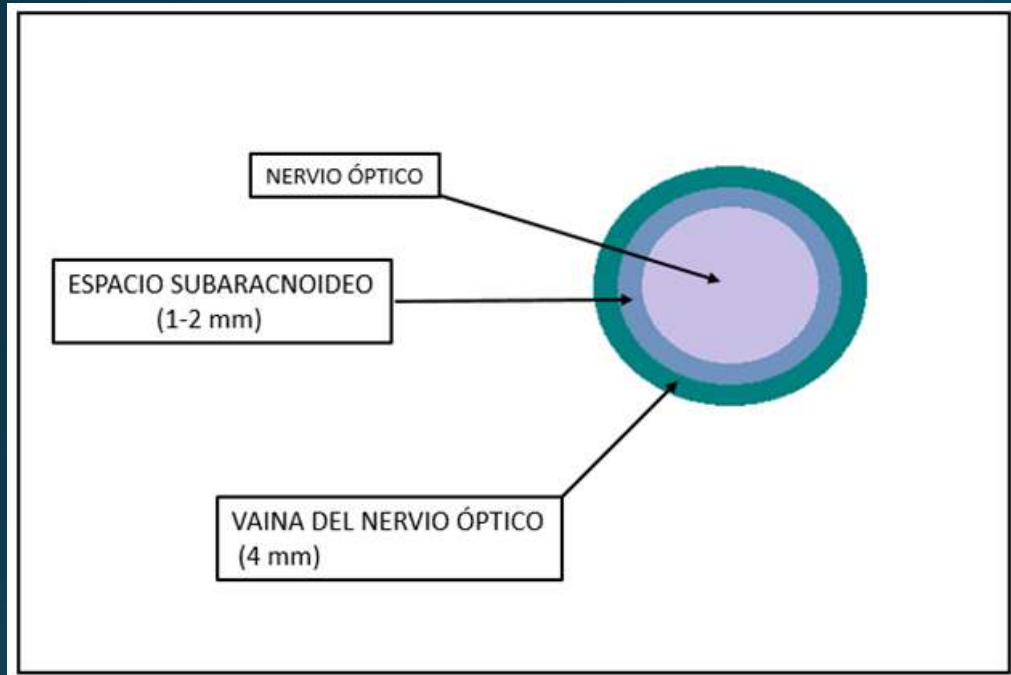
Concurrente de neurología. Instituto de Oncología A.H. Roffo

Ecografía de la vaina del nervio óptico

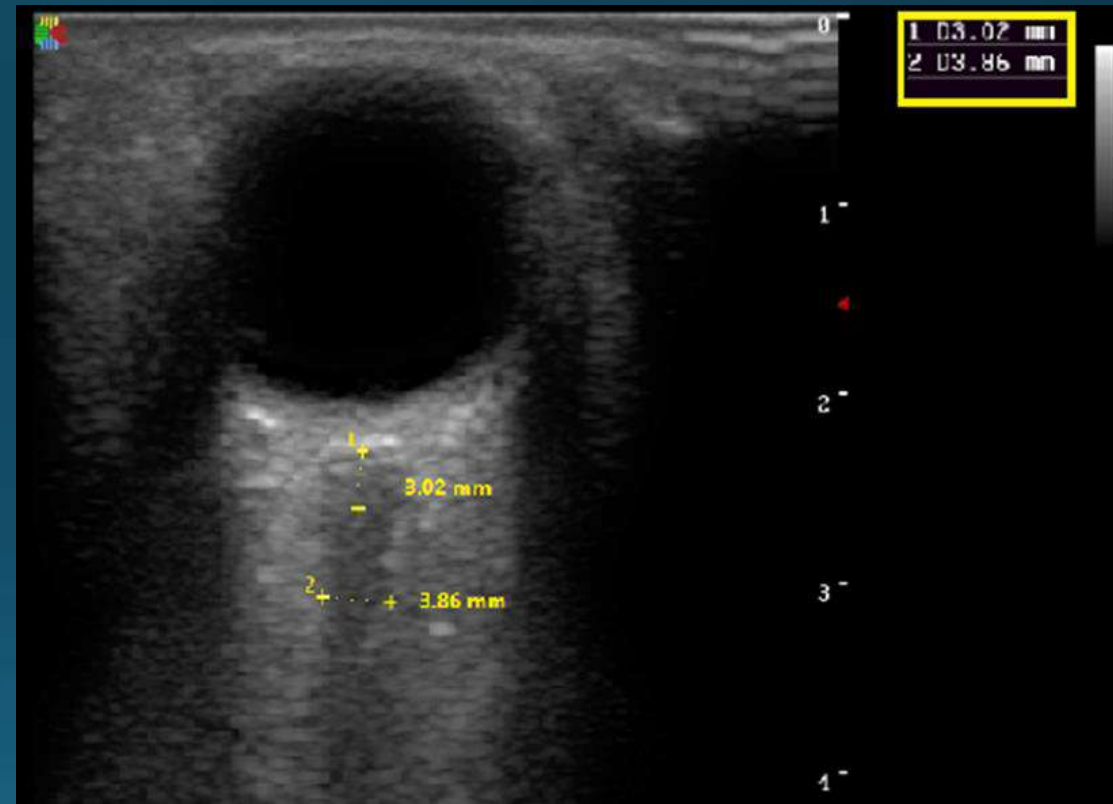
Indicaciones

- Diagnóstico de hipertensión endocraneana
 - En la sala de emergencias
 - En la UTI
 - En hipertensión endocraneana benigna

Medición de la vaina del nervio óptico



- Cuando se eleva la PIC, el LCR se desplaza hacia el pequeño borde del espacio subaracnoideo entre la vaina y el nervio causando una expansión de la cubierta dural
- Estos cambios son más marcados en la parte anterior de la misma, detrás del globo ocular



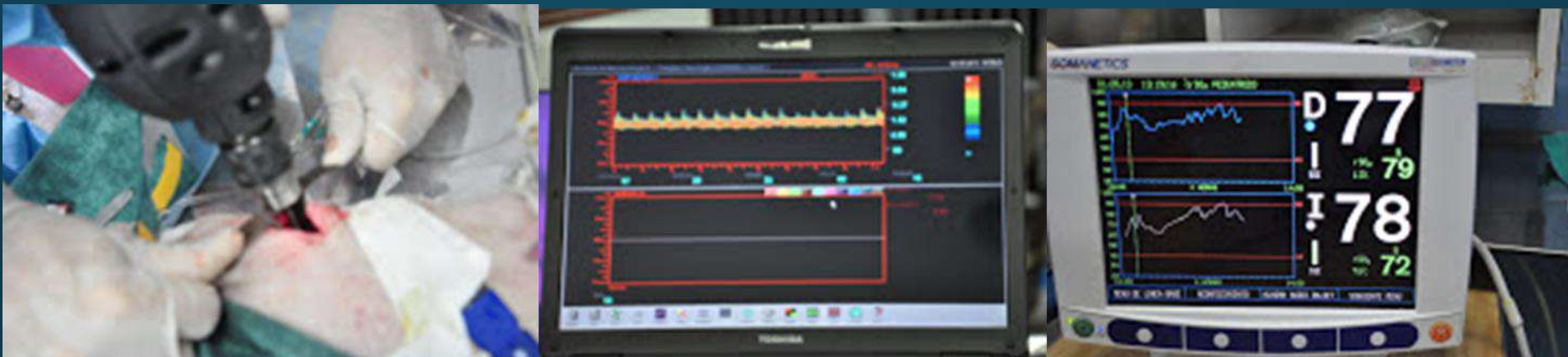
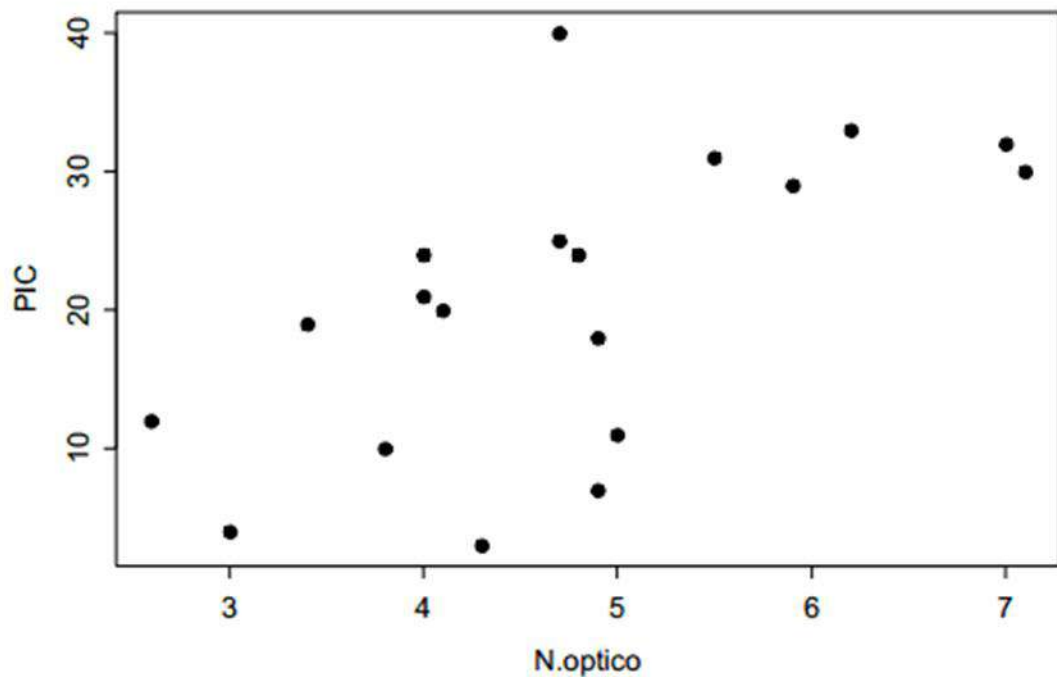


Figure 1: Scatter plot of intracranial pressure (PIC) in mmHg. versus optic nerve diameter (N.optico) in mm. for each observation



- El valor de 5 mm Hg correlacionó con la presencia de HEC como está publicado
- El efecto del neumoperitoneo sobre la PIC y la VNO fue determinante para el aumento de los mismos

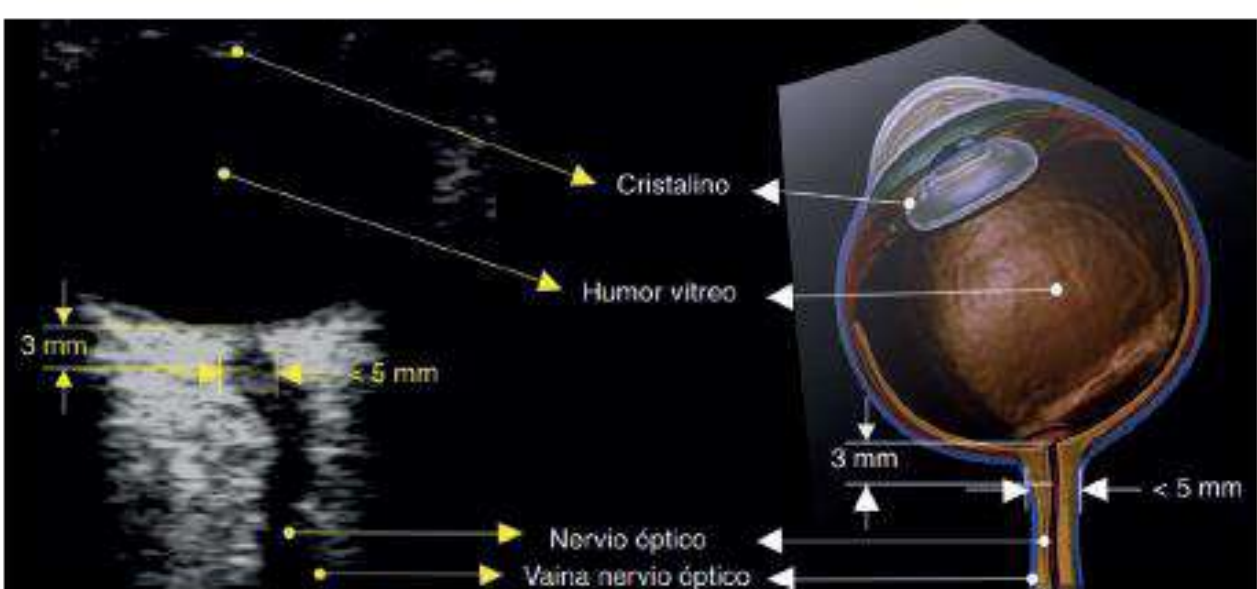


Figura 6.5: Medición de la vaina del nervio óptico en plano parasagital

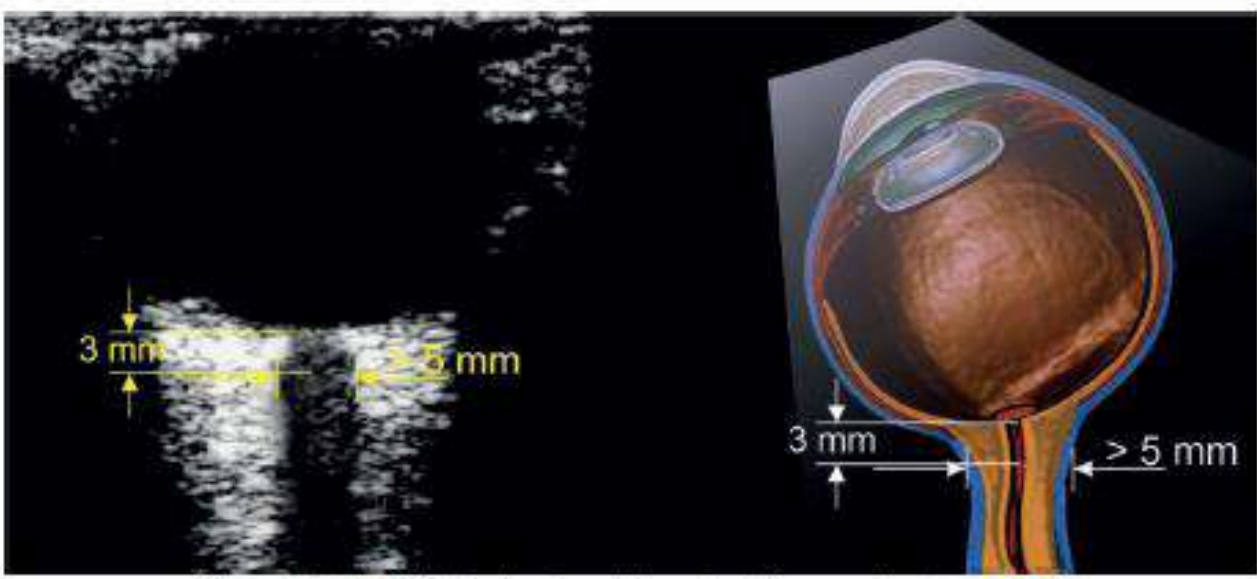
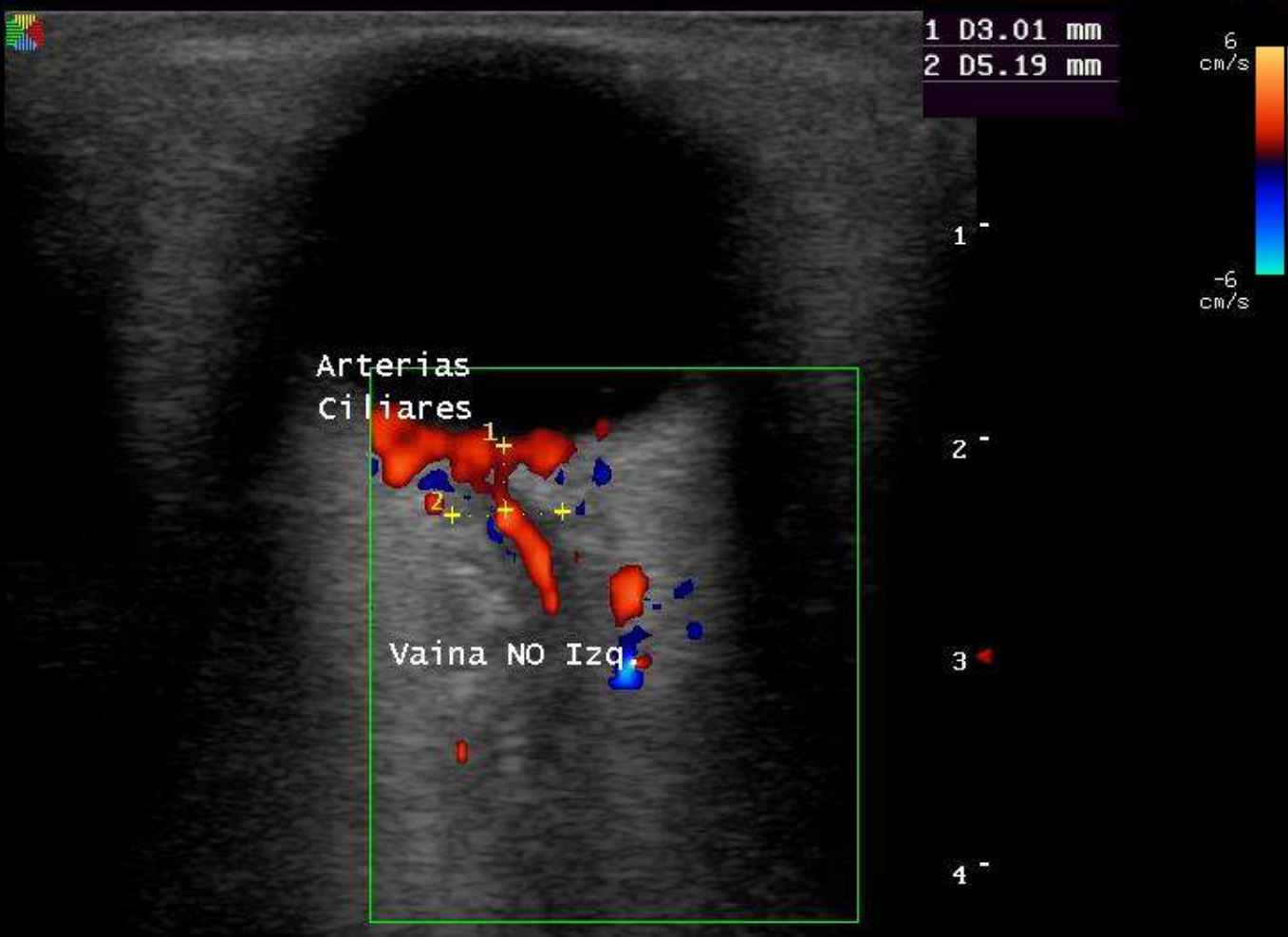


Figura 6.6: Medición de la vaina del nervio óptico en plano transversal



FPS 25
D/G 200/6
GN 41
I/P 1/30
PWR 70
FRQ 7.0-13
D 4.4cm

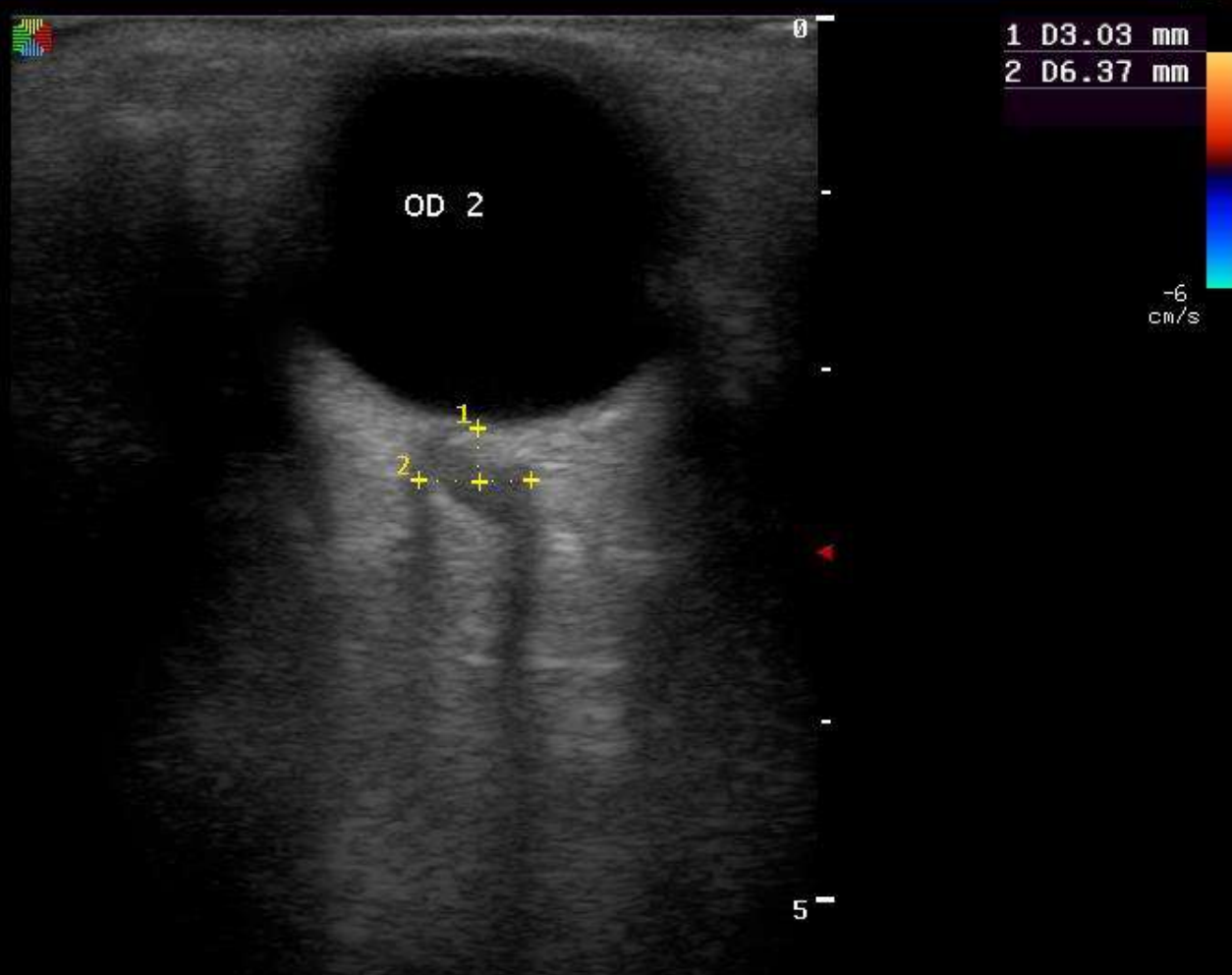
PRF 1.0
WF 75
GN 20
C/P 1/60
PWR 70
FRQ 6.0



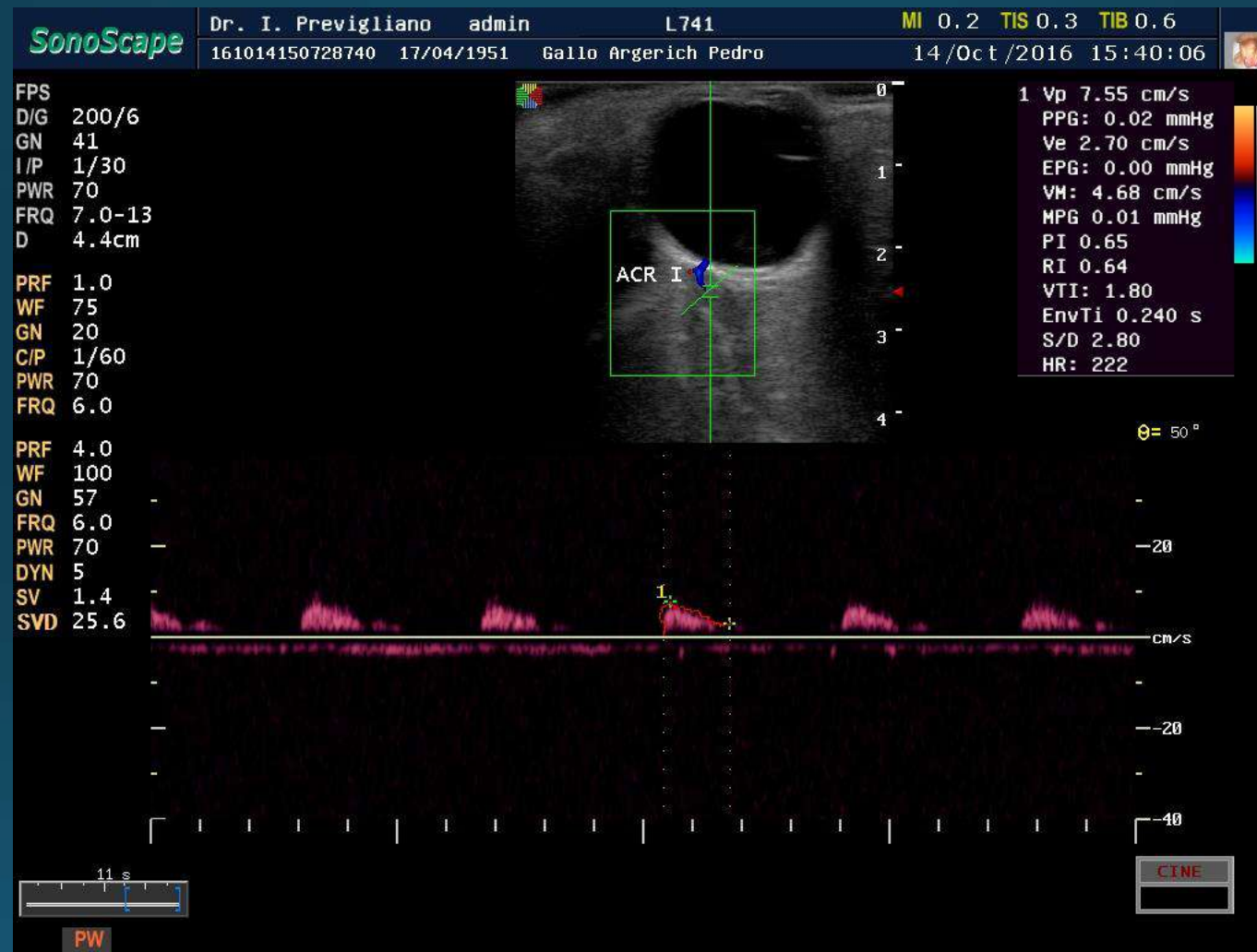


FPS 31
D/G 200/6
GN 41
I/P 1/30
PWR 70
FRQ 7.0-13
D 5.5cm

PRF 1.0
WF 75
GN 20
C/P 1/60
PWR 70
FRQ 6.0







PICe: (VNO-3,7242)/0,128



Ecografía de la vaina del nervio óptico previo (izquierda) y posterior (derecha) a la administración de manitol en un paciente con TEC



Ecografía transcaneal

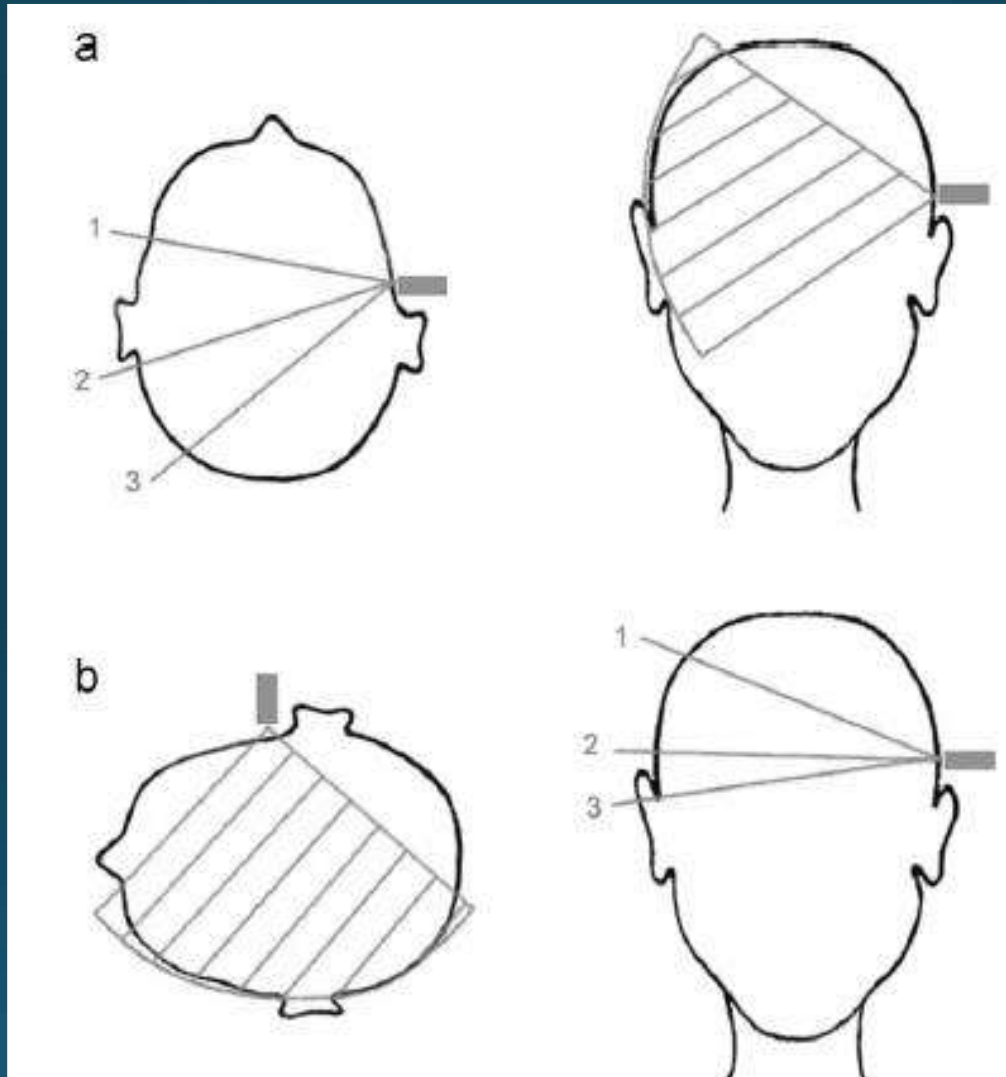


Fig. 1. Imaging planes in transcranial color-coded sonography (TCCS): frontal plane (a) and transverse plane (b).



Figura 5.2: Imagen del tercer ventrículo

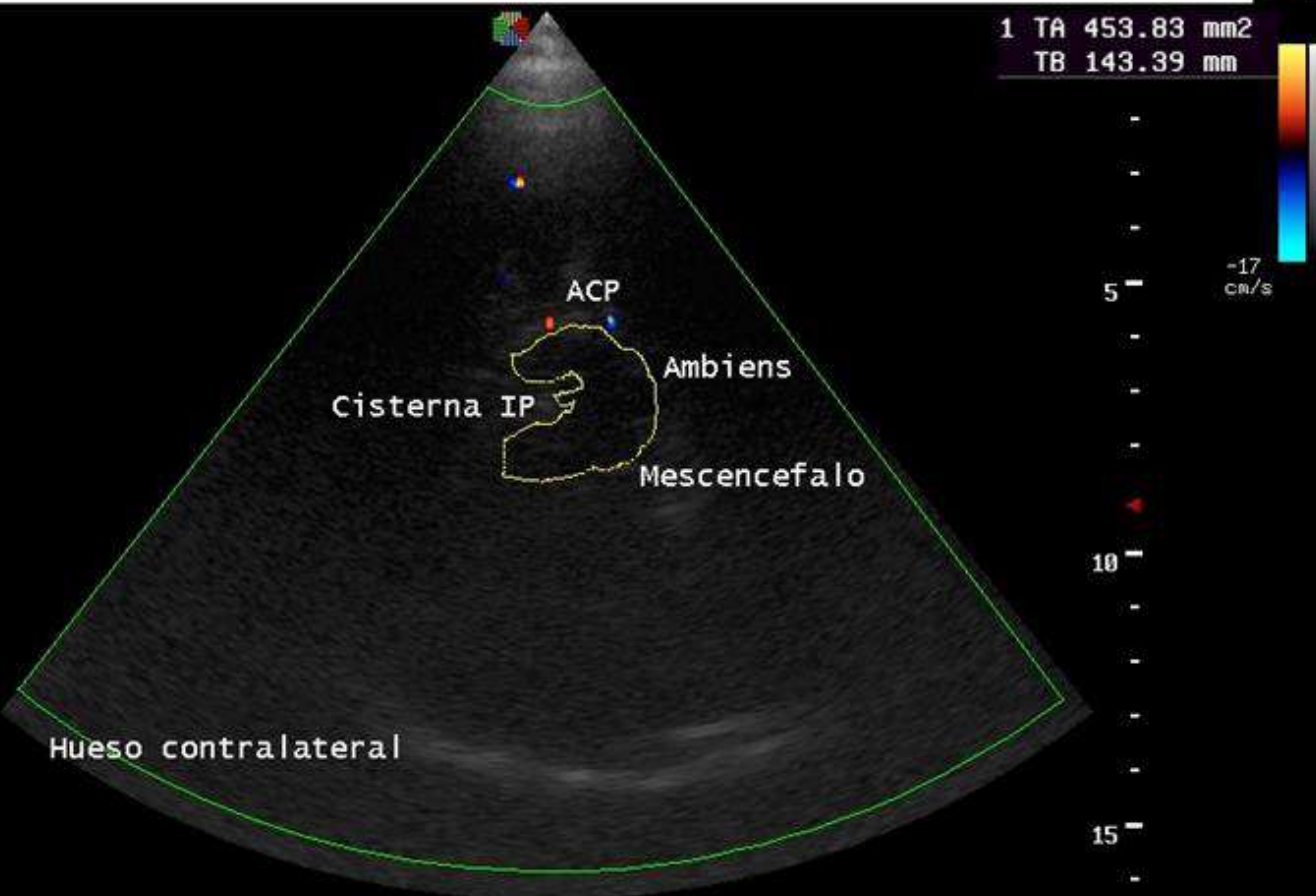


Figura 5.3: Imagen de corte transversal del cerebro donde se observan las astas frontales y la línea media



FPS 7
D/G 100/3
GN 255
I/P 2/30
PWR 80
FRQ 2.9- 5
D 16.4cm

PRF 1.0
WF 75
GN 25
C/P 3/40
PWR 70
FRQ 2.2



0 87 111

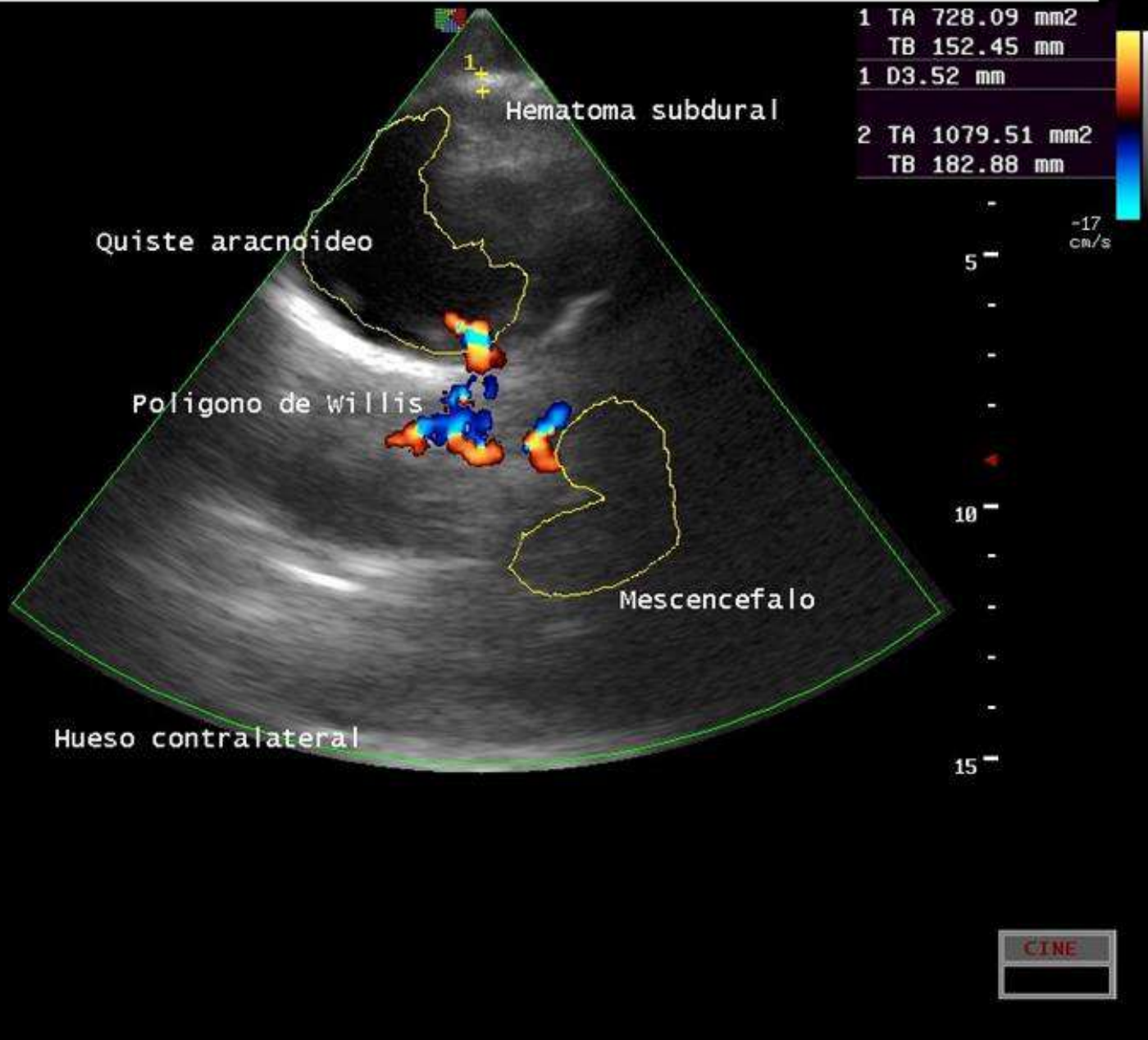
H

CINE



FPS 7
D/G 100/3
GN 255
I/P 2/30
PWR 80
FRQ 2.9- 5
D 15.3cm

PRF 1.0
WF 75
GN 25
C/P 3/40
PWR 70
FRQ 2.2

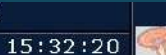


SonoScape

Dr. I. Previgliano admin
161014150728740 17/04/1951 Gallo Argerich Pedro

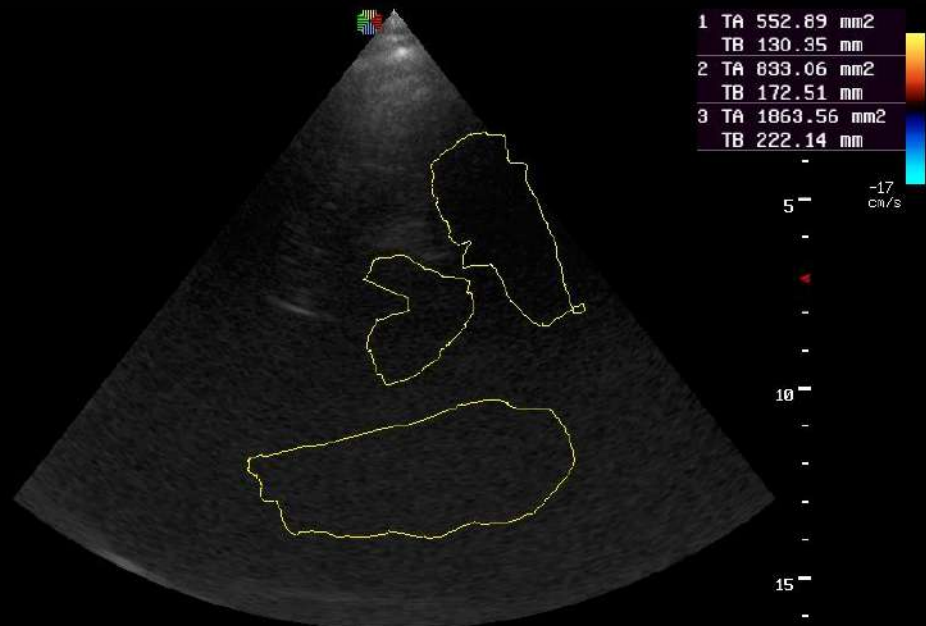
2P1

MI 1.1 TIS 1.0
14/Oct/2016 15:32:20



FPS 12
D/G 100/3
GN 255
I/P 2/30
PWR 80
FRQ 2.9- 5
D 16.4cm

PRF 1.0
WF 75
GN 25
C/P 3/40
PWR 70
FRQ 2.2



0 125 198
H

CINE

SonoScape

Dr. I. Previgliano admin
161014150728740 17/04/1951 Gallo Argerich Pedro

L741

MI 1.0 TIS 0.6
14/Oct/2016 15:37:01



FPS 33
D/G 200/6
GN 41
I/P 1/30
PWR 70
FRQ 7.0-13
D 4.4cm

PRF 1.0
WF 75
GN 20
C/P 1/60
PWR 70
FRQ 6.0



0 125 198

CINE

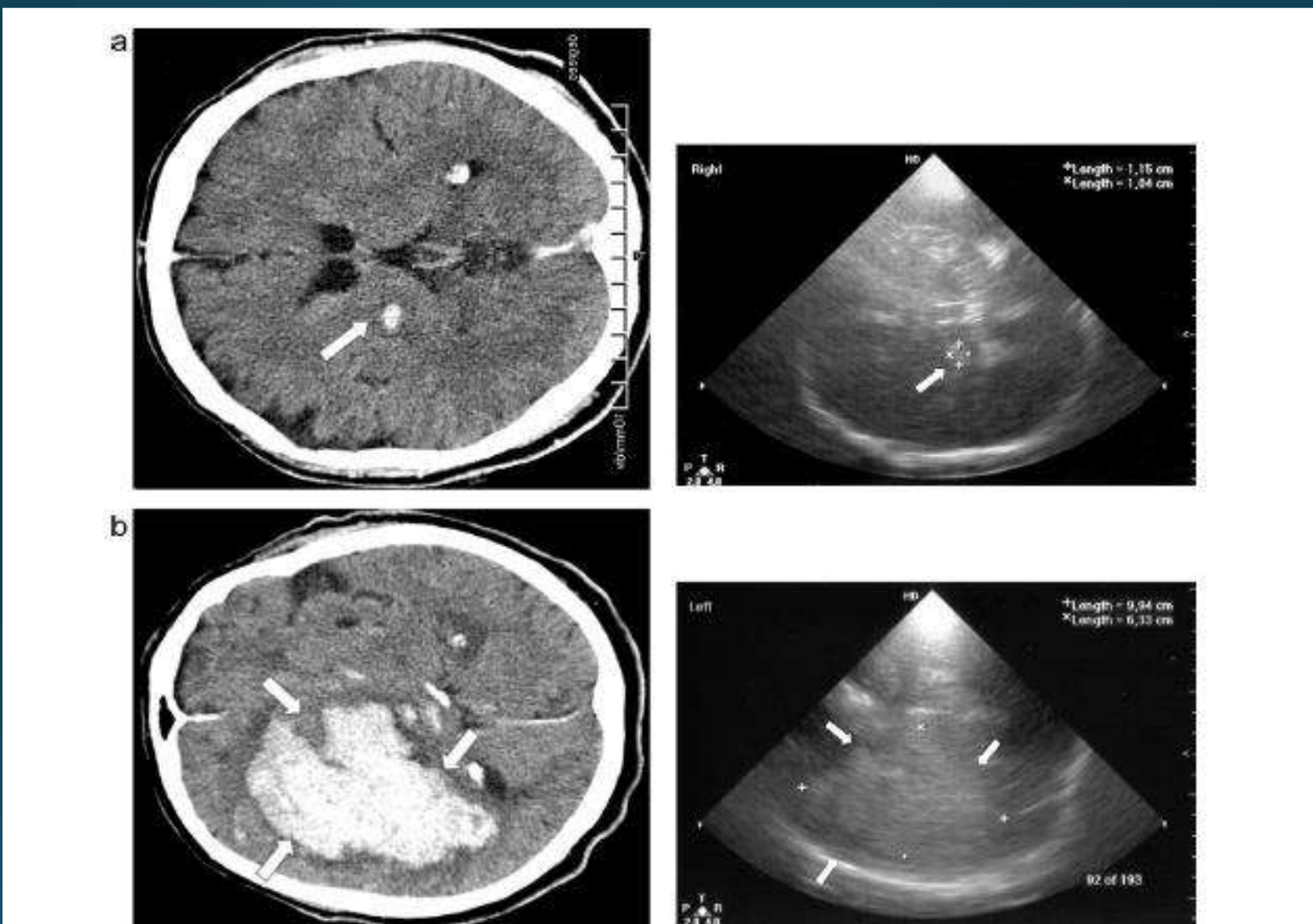


Fig. 2. Computed tomography (CT, left) and transcranial color-coded sonography (TCCS, right) images of hemorrhagic foci: the smallest (0.47 mm³, a) and (b) the largest (234 mm³, b) hemorrhagic focus revealed; transverse plane, arrows indicate hemorrhagic foci.

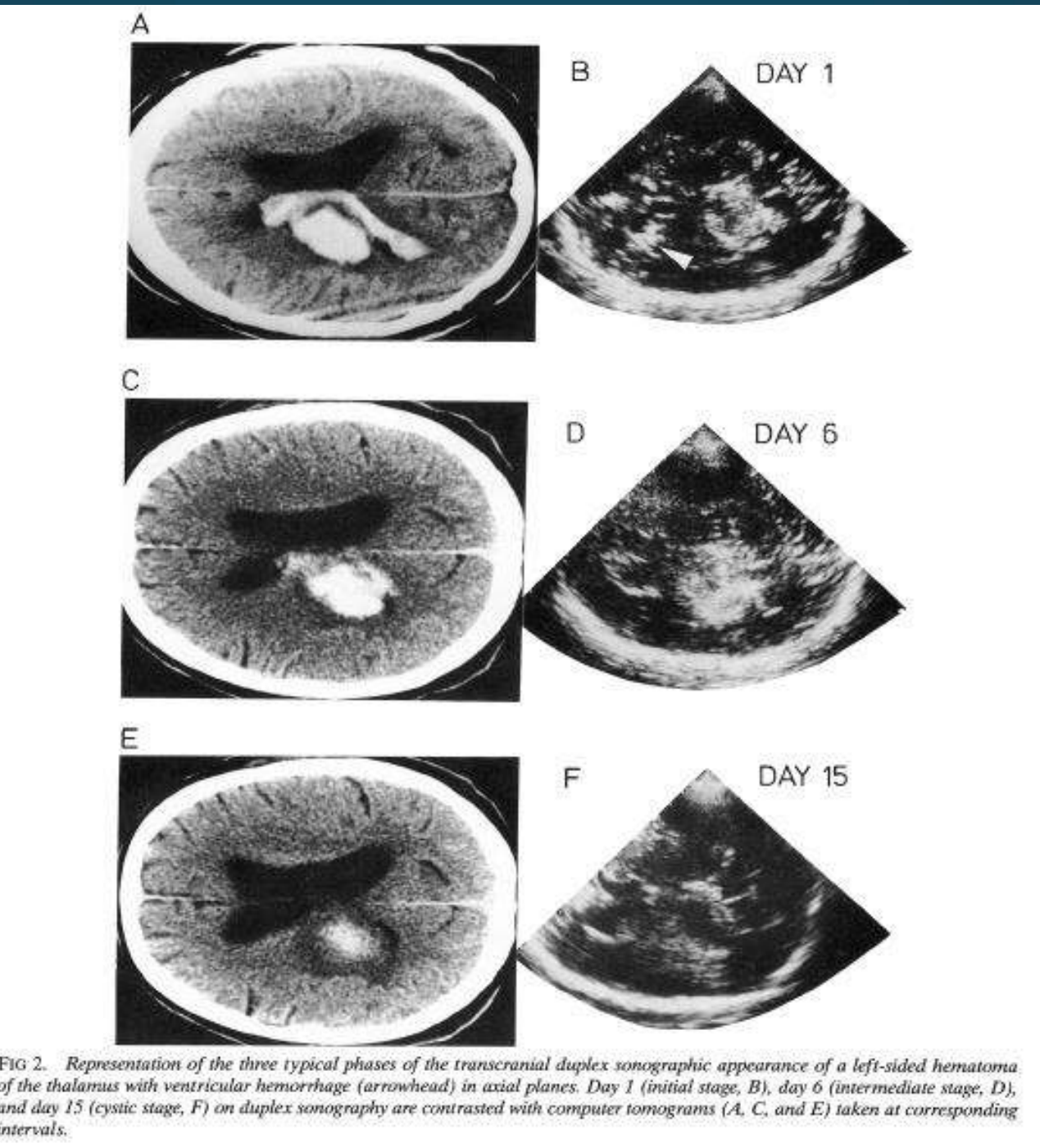


FIG 2. Representation of the three typical phases of the transcranial duplex sonographic appearance of a left-sided hematoma of the thalamus with ventricular hemorrhage (arrowhead) in axial planes. Day 1 (initial stage, B), day 6 (intermediate stage, D), and day 15 (cystic stage, F) on duplex sonography are contrasted with computer tomograms (A, C, and E) taken at corresponding intervals.

Transcranial Sonography to Differentiate Primary Intracerebral Hemorrhage from Cerebral Infarction with Hemorrhagic Transformation

Wolf-Dirk Niesen, Axel Schläger, Matthias Reinhard, Hannah Fuhrer

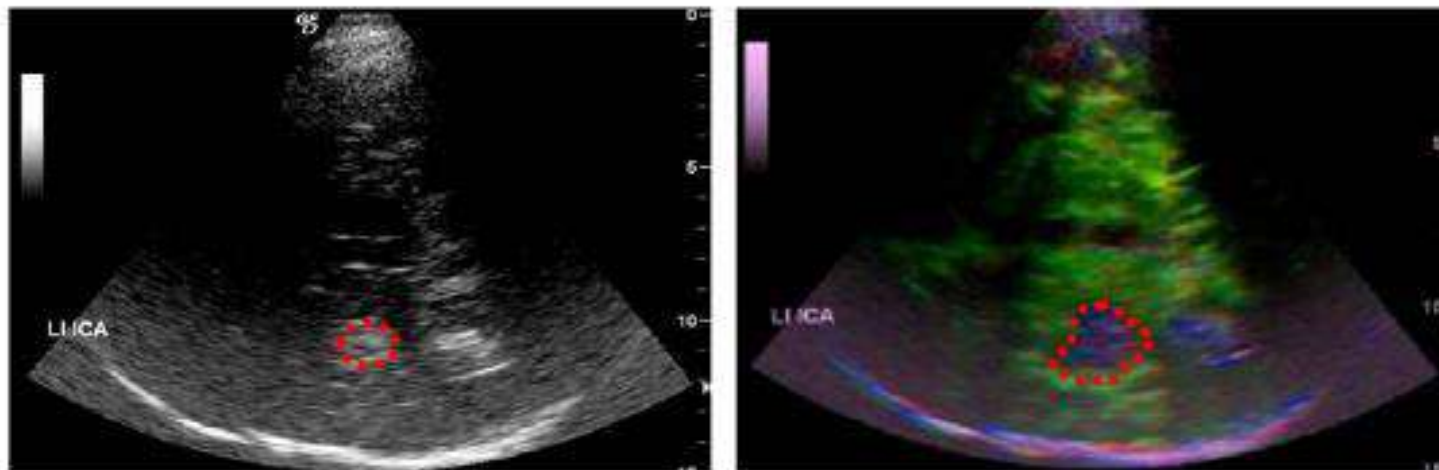


Fig 1. Mismatch example in transcranial gray-scale sonography and transcranial perfusion sonography. Left: Hyperechogenic lesion in transcranial gray-scale sonography; right: perfusion deficit with a mismatch exceeding the hyperechogenic lesion. LI ICA = left internal carotid artery.

TEC

ABCD

Ultrasonido

ReCCUs

Protocolo TTECCUs

EVNO

DTC
Belfort

ETC

> 5.6 mm

PPC < 70 mm Hg

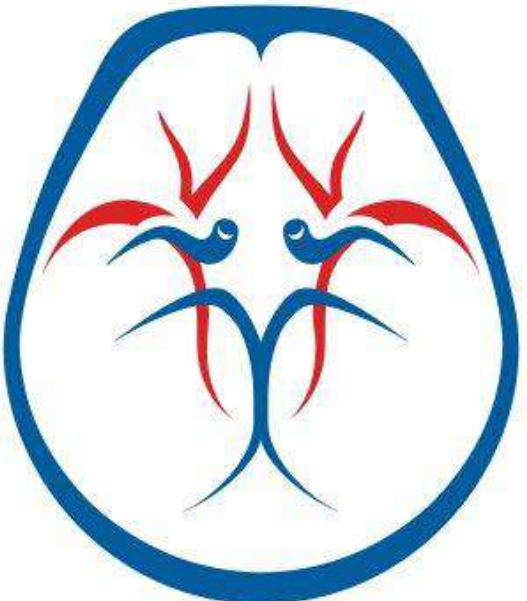
DLM o LOE

Manitol 1g/kg/b

Expansión
Vasoactivos

TC

Cirugía



**Laboratorio de Neurosonología
Dr. Ignacio J. Previgliano**

www.driprevigliano.com.ar